



### UNIVERSITY OF NAPLES FEDERICO II 1224 A.D.

## **Gasdinamica**

#### T. Astarita

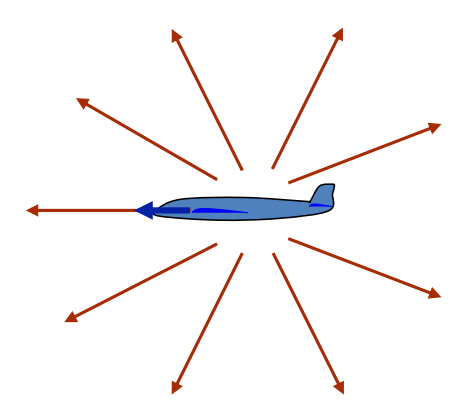
astarita@unina.it www.docenti.unina.it

Versione del 16.3.2021

### Introduzione

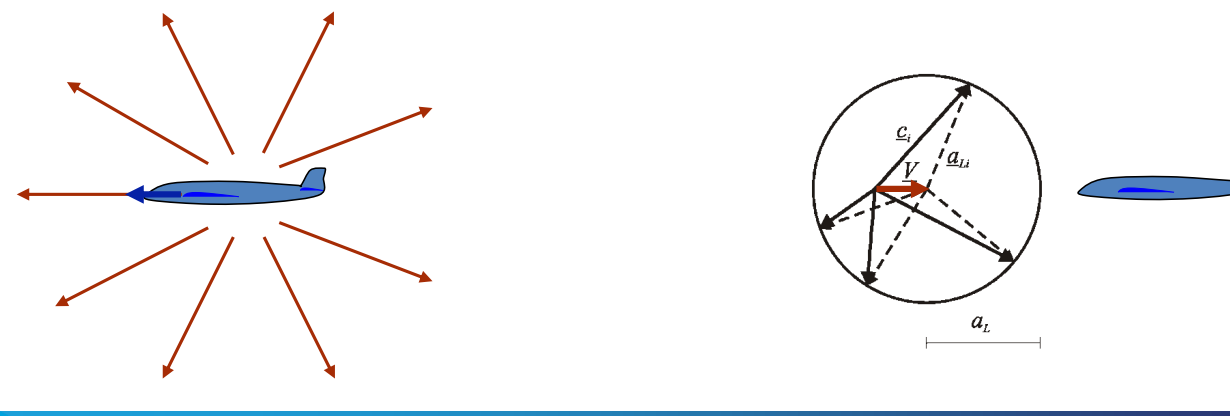
E' stato visto in precedenza che i piccoli disturbi di pressione si propagano alla velocità del suono.

Nel caso di un **oggetto** che si muova a **velocità subsonica** in aria ferma, i disturbi di pressione causati dalla sua presenza, viaggiando più velocemente dell'oggetto, riescono a **raggiungere** tutti i punti del fluido **prima** che arrivi l'oggetto stesso. Ovviamente, l'aria si deve aprire per far passare l'oggetto



Nel caso di un **oggetto** che si muova a **velocità subsonica** in aria ferma, i disturbi di pressione causati dalla sua presenza, viaggiando più velocemente dell'oggetto, riescono a **raggiungere** tutti i punti del fluido **prima** che arrivi l'oggetto stesso. Ovviamente, l'aria si deve aprire per far passare l'oggetto.

Alternativamente, in un sistema di riferimento inerziale per il quale l'oggetto è fermo ed è investito da una corrente subsonica, questi disturbi riescono a risalire la corrente in quanto essi viaggiano verso monte più velocemente di quanto la corrente viaggi verso valle.



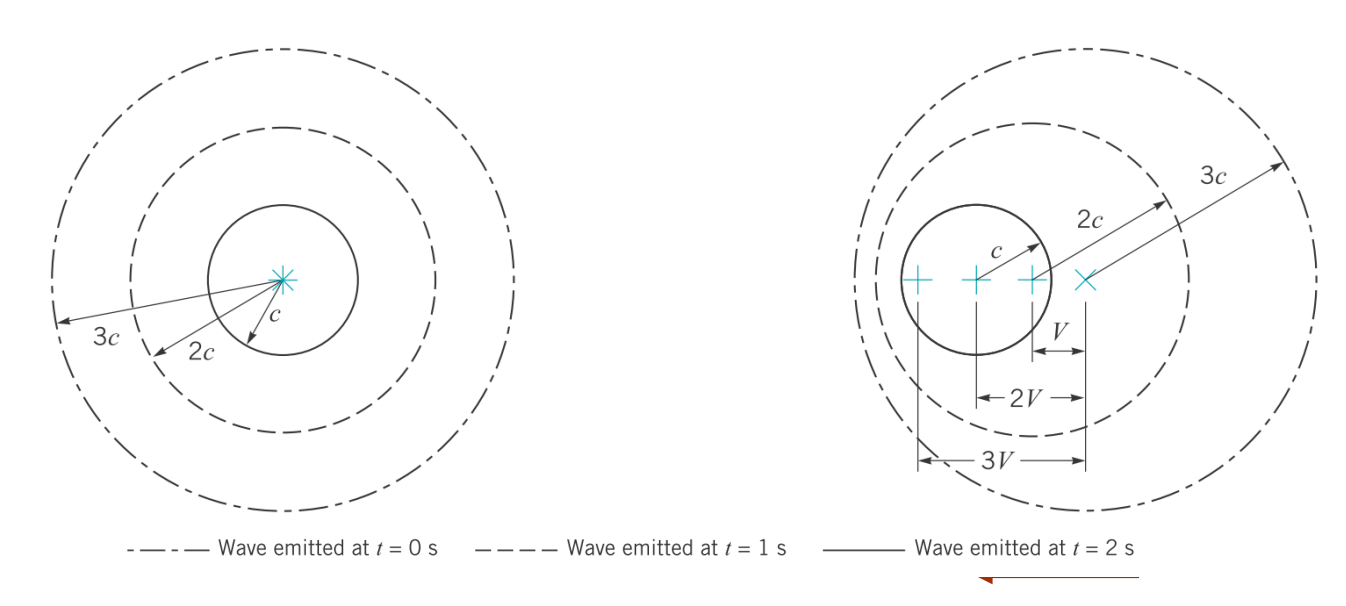


Gasdinamica - GA 3.1 Onde d'urto - astarita @unina.it

3

## Introduzione

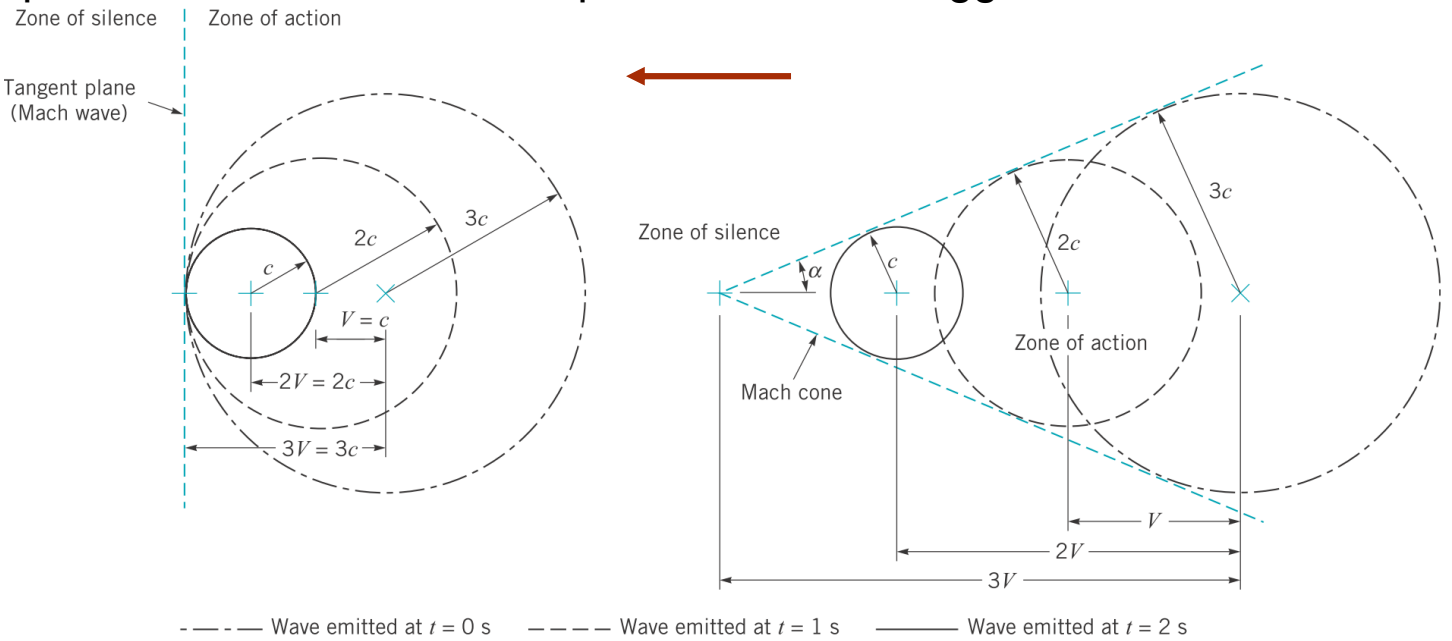
Nel caso di un **oggetto** che si muova a **velocità subsonica** in aria ferma, i disturbi di pressione causati dalla sua presenza, viaggiando più velocemente dell'oggetto, riescono a **raggiungere** tutti i punti del fluido **prima** che arrivi l'oggetto stesso.



Velocità nulla (M=0)

Velocità Subsonica (M=0.7)

Nel caso, invece, in cui **l'oggetto** si muova a **velocità supersonica** arriva **prima l'oggetto** e **poi i disturbi di pressione**. L'aria **non** può, quindi, essere **avvisata** da questi ultimi che l'oggetto sta arrivando.



Velocità sonica (M=1)

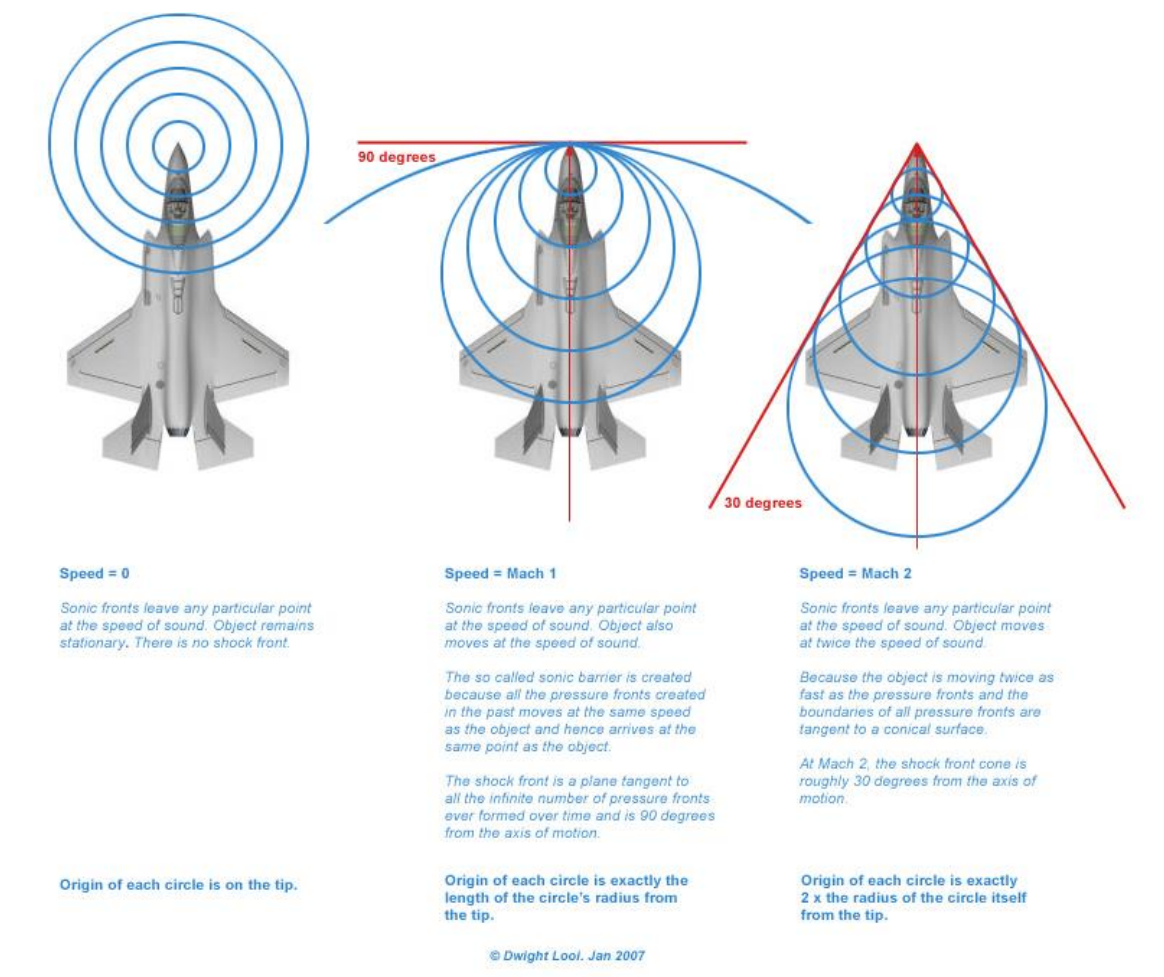
Velocità Supersonica (M=2)



Gasdinamica – GA 3.1 Onde d'urto - astarita @unina.it

5

# Introduzione

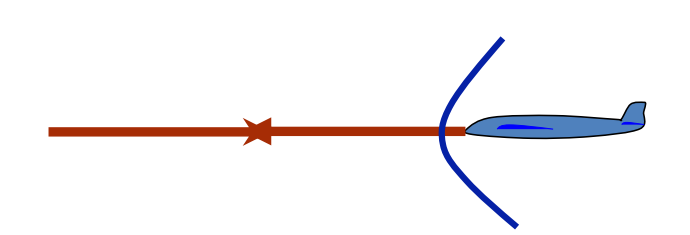


Nel caso, invece, in cui **l'oggetto** si muova a **velocità supersonica** arriva **prima l'oggetto** e **poi i disturbi di pressione**. L'aria **non** può, quindi, essere **avvisata** da questi ultimi che l'oggetto sta arrivando.

L'oggetto deve, in ogni caso, passare e l'aria si deve aprire per farlo passare. Da ciò deriva la presenza di superfici di discontinuità (onde d'urto) che, rendendo la corrente subsonica, e/o deviando la corrente supersonica, consentono al fluido di aprirsi per far passare il corpo.

Le onde d'urto possono essere presenti anche in altre situazioni

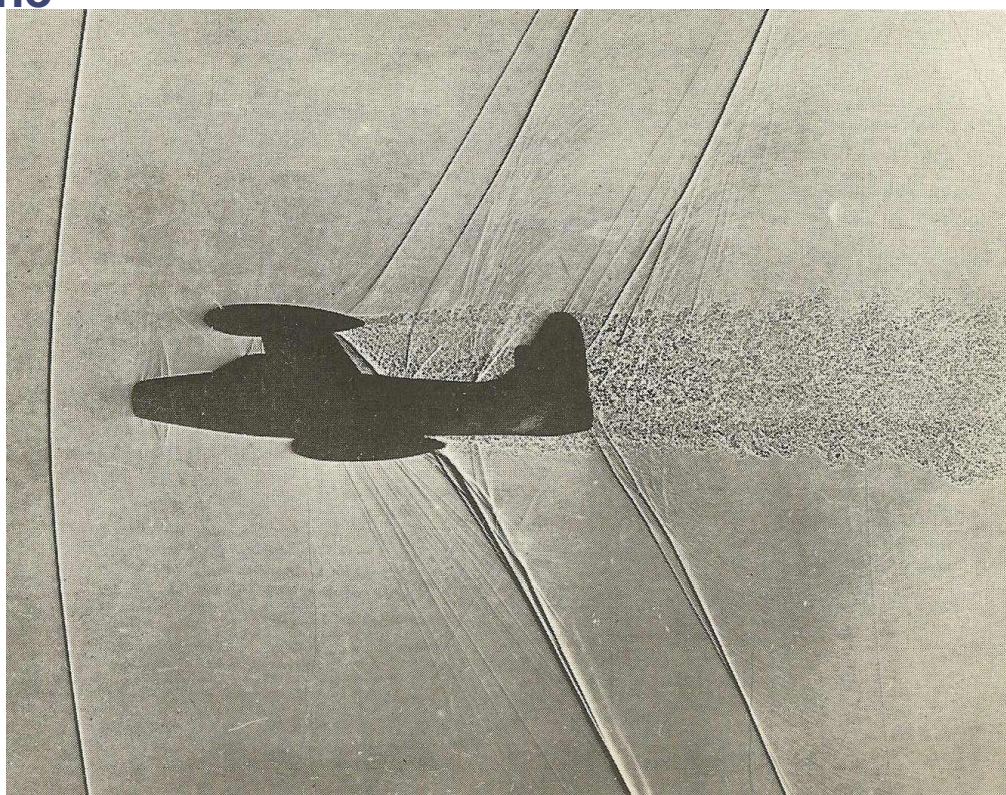
fluidodinamiche.



7

Gasdinamica - GA 3.1 Onde d'urto - astarita @unina.it

Introduzione



Shadowgraph del Thunderjet F84 (scala 1/200 ,M=1.05). L'onda d'urto davanti all'aereo, che viaggia a  $M\cong 1$ , è praticamente normale alla corrente che lo investe.



F14 rompe il muro del suono



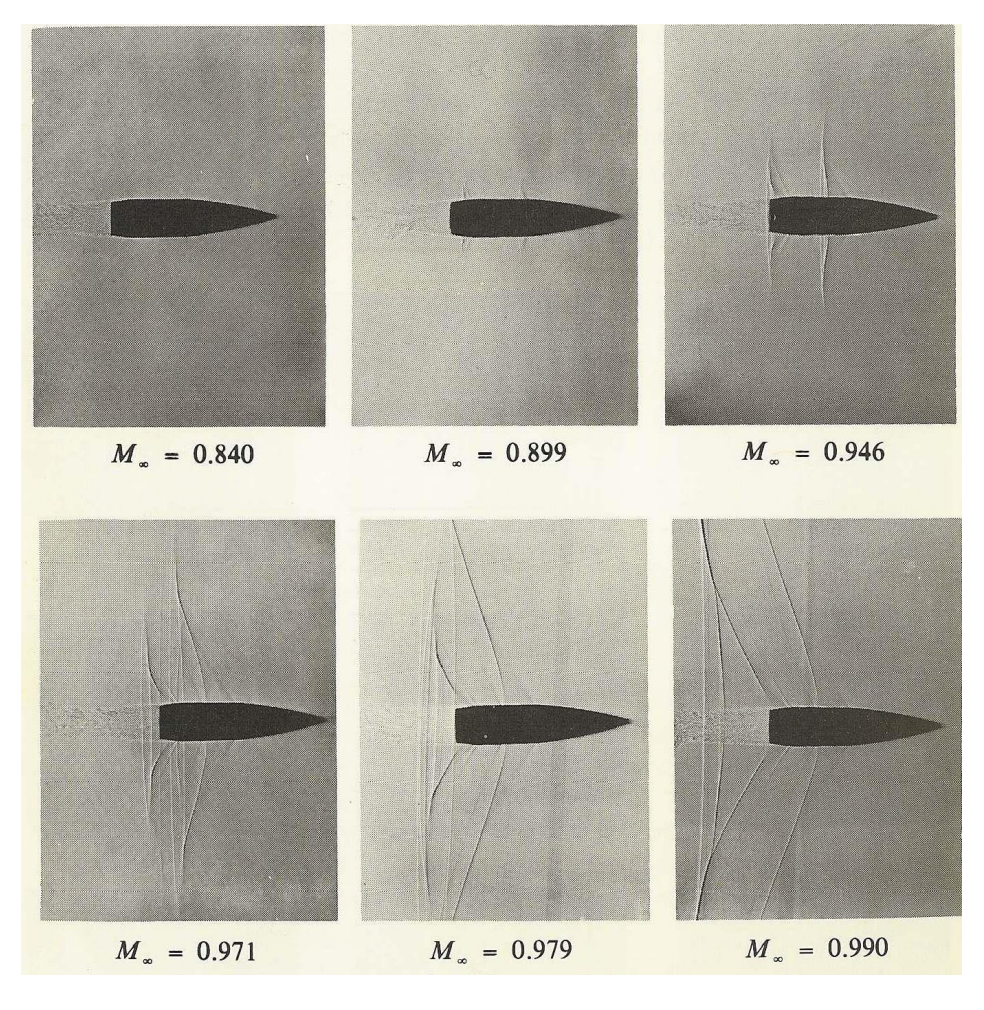
Gasdinamica - GA 3.1 Onde d'urto - astarita @unina.it

#### 9

## Introduzione

Shadowgraphs del campo di moto intorno a un **proiettile** in moto **transonico**.

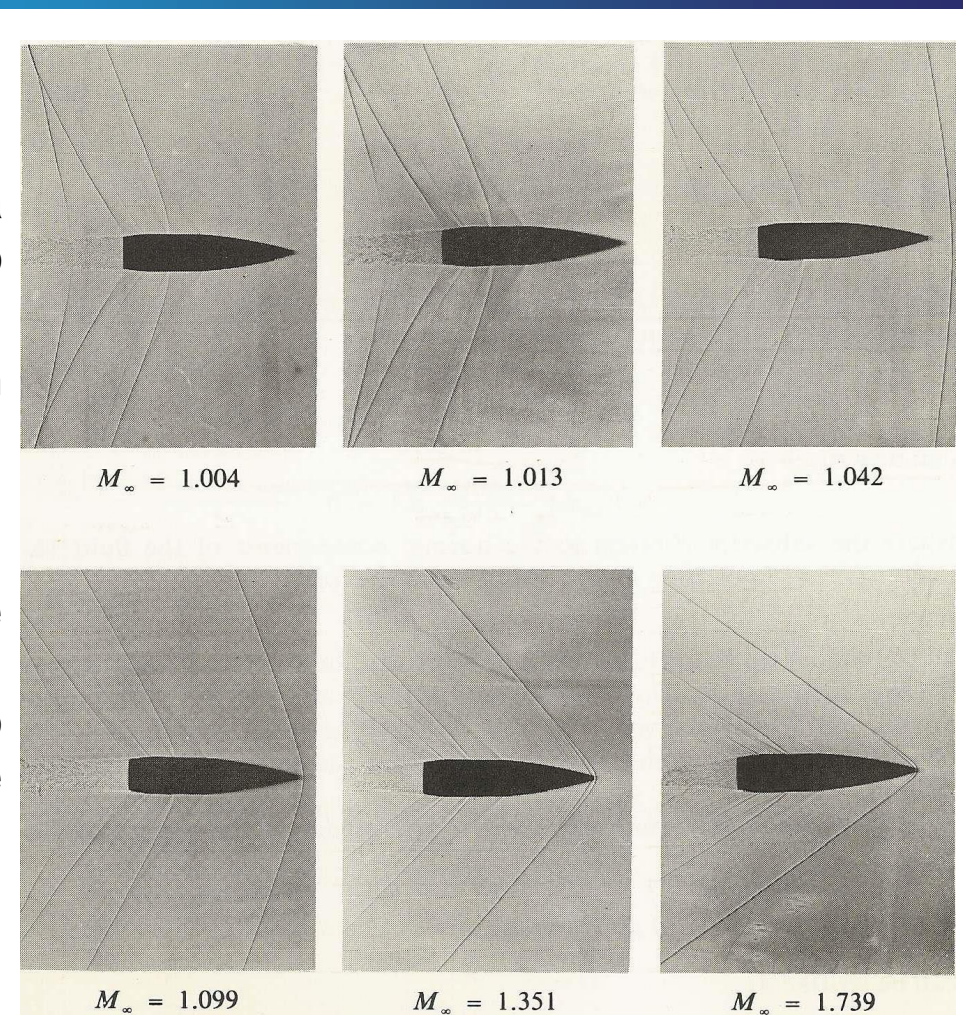
Pur essendo il moto subsonico, si può notare la presenza di onde (di Mach, o deboli onde urto) dove la corrente accelera.



Shadowgraphs del campo di moto intorno a un **proiettile** in moto **supersonico**.

Ai bassi numeri di Mach (1.004 e 1.013) l'onda si trova molto a monte del corpo e non appare.

L'onda d'urto staccata, è quasi **normale**, per  $M \cong 1$  e si avvicina al corpo **inclinandosi** verso valle **all'aumentare** del numero di **Mach**.

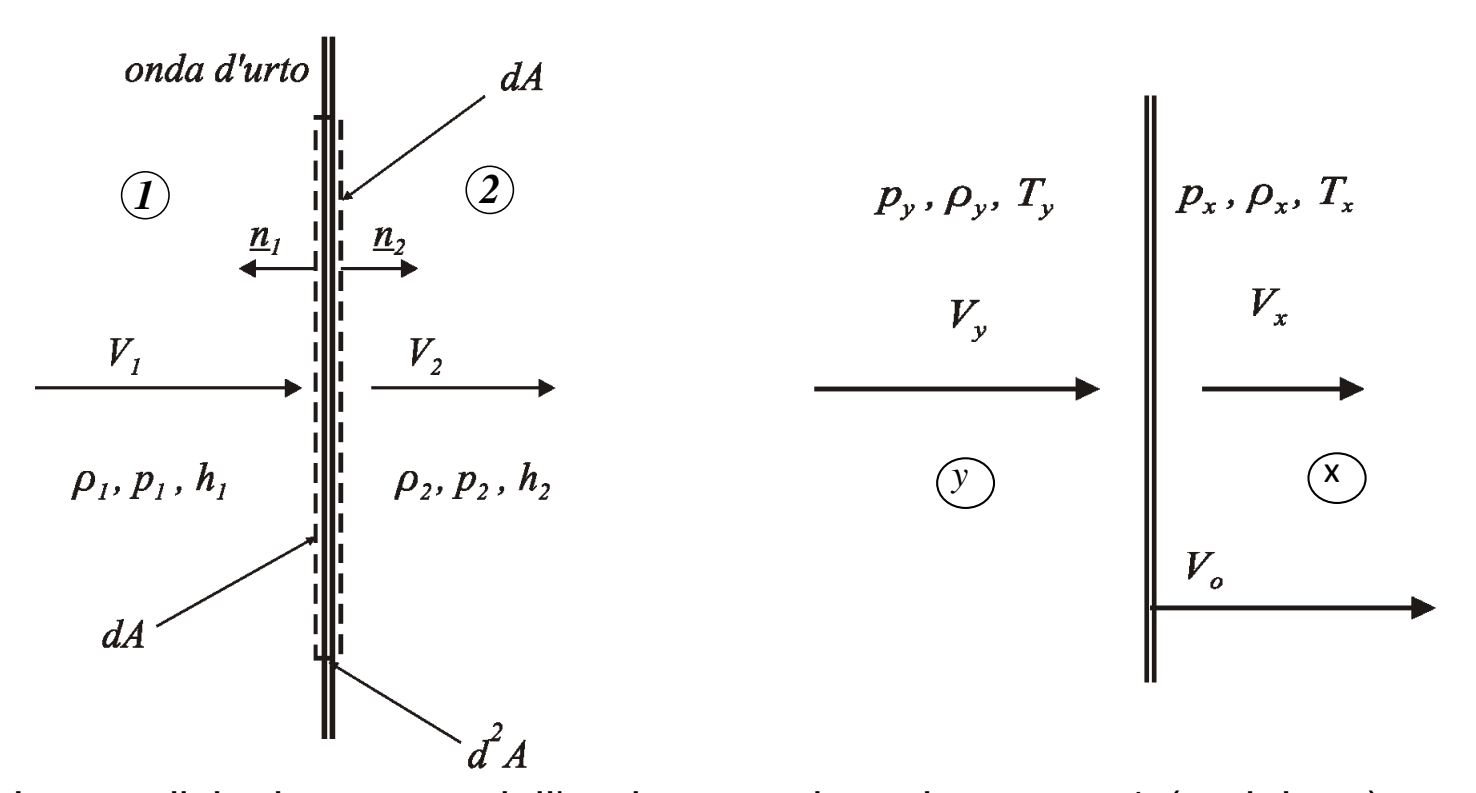




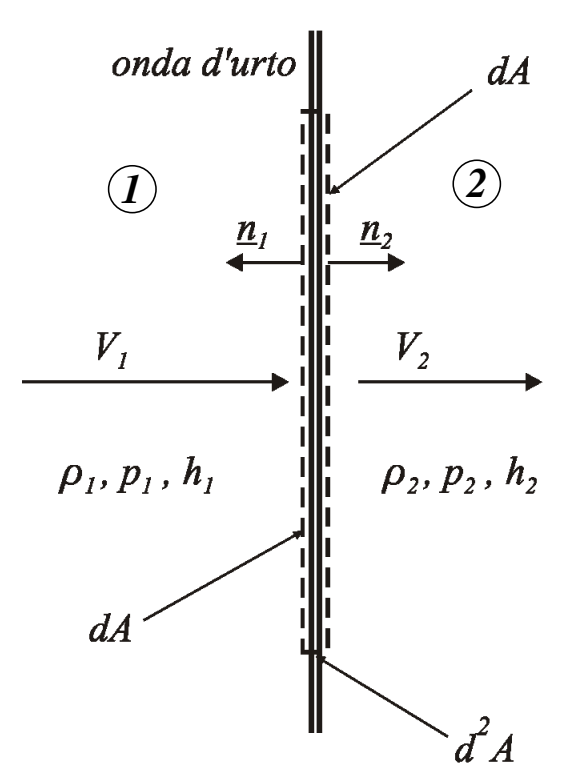
Gasdinamica - GA 3.1 Onde d'urto - astarita @unina.it

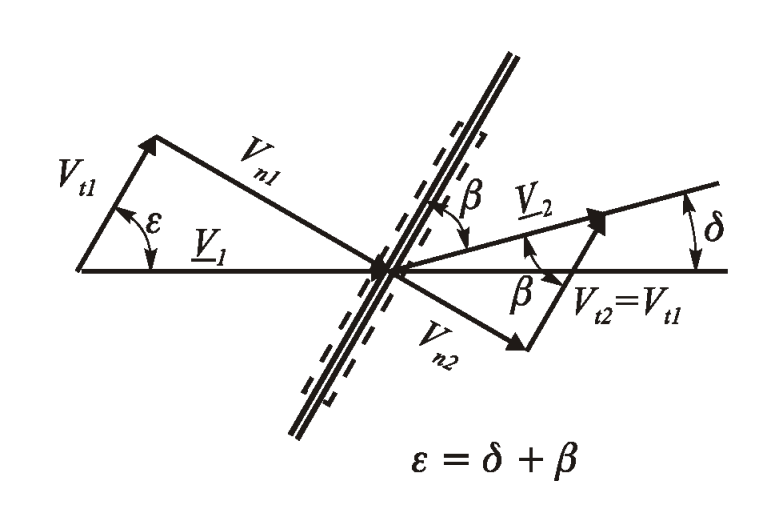
11

## Introduzione



Le condizioni a monte dell'onda sono rispettivamente 1 (a sinistra) e x (a destra) per onde **stazionarie** e **non stazionarie**.





Le onde d'urto si chiamano **normali** (a sinistra), quando sono perpendicolari al vettore velocità a monte dell'onda. In caso contrario, si dicono **oblique** (a destra).



Gasdinamica - GA 3.1 Onde d'urto - astarita @unina.it

13

## **Ipotesi**

Inizialmente le ipotesi su cui si baserà lo studio sono:

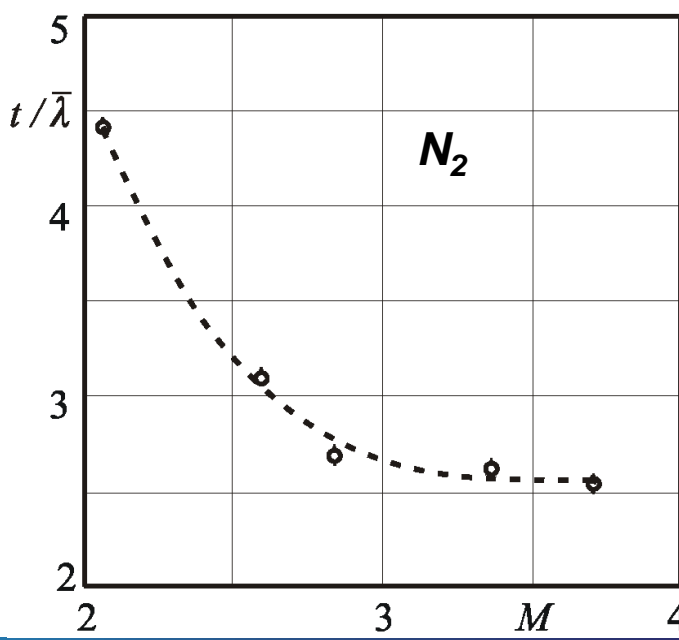
- onde d'urto adiabatiche (il fluido non scambia energia nel modo calore);
- onde d'urto anergodiche (il fluido non scambia energia nel modo lavoro);

Nella figura a lato è riportato lo **spessore** di un'onda d'urto, misurato per una corrente di azoto  $N_2$ , in termini di **libero cammino medio** 

molecolare, al variare M.

Per aria in condizioni normali il libero cammino medio molecolare è dell'ordine di  $0.1\mu m$  (il diametro di un capello umano è  $\sim 80\mu m$ ).

Quindi lo **spessore** di un'onda d'urto, essendo dell'ordine di qualche libero cammino medio molecolare, è di vari ordini di grandezza inferiore a quelli di una tipica lunghezza caratteristica.

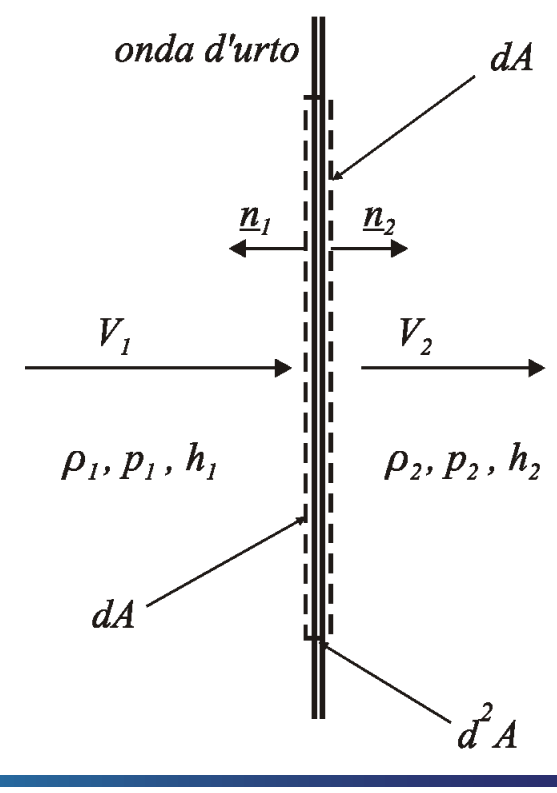


### **Ipotesi**

In figura è mostrato, con una linea tratteggiata, il volume di controllo "a monetina".

#### Perché?







Gasdinamica - GA 3.1 Onde d'urto - astarita @unina.it

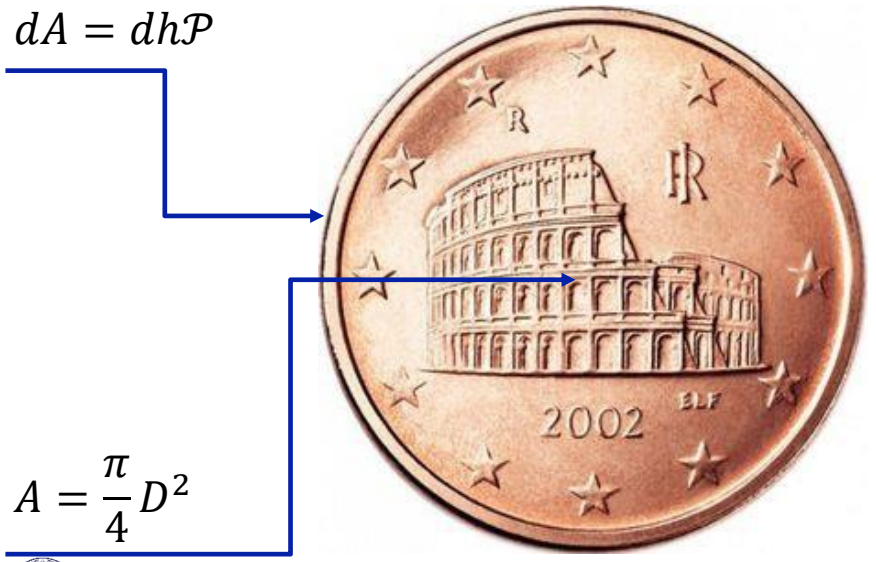
15

# **Ipotesi**

In figura è mostrato, con una linea tratteggiata, il volume di controllo "a monetina".

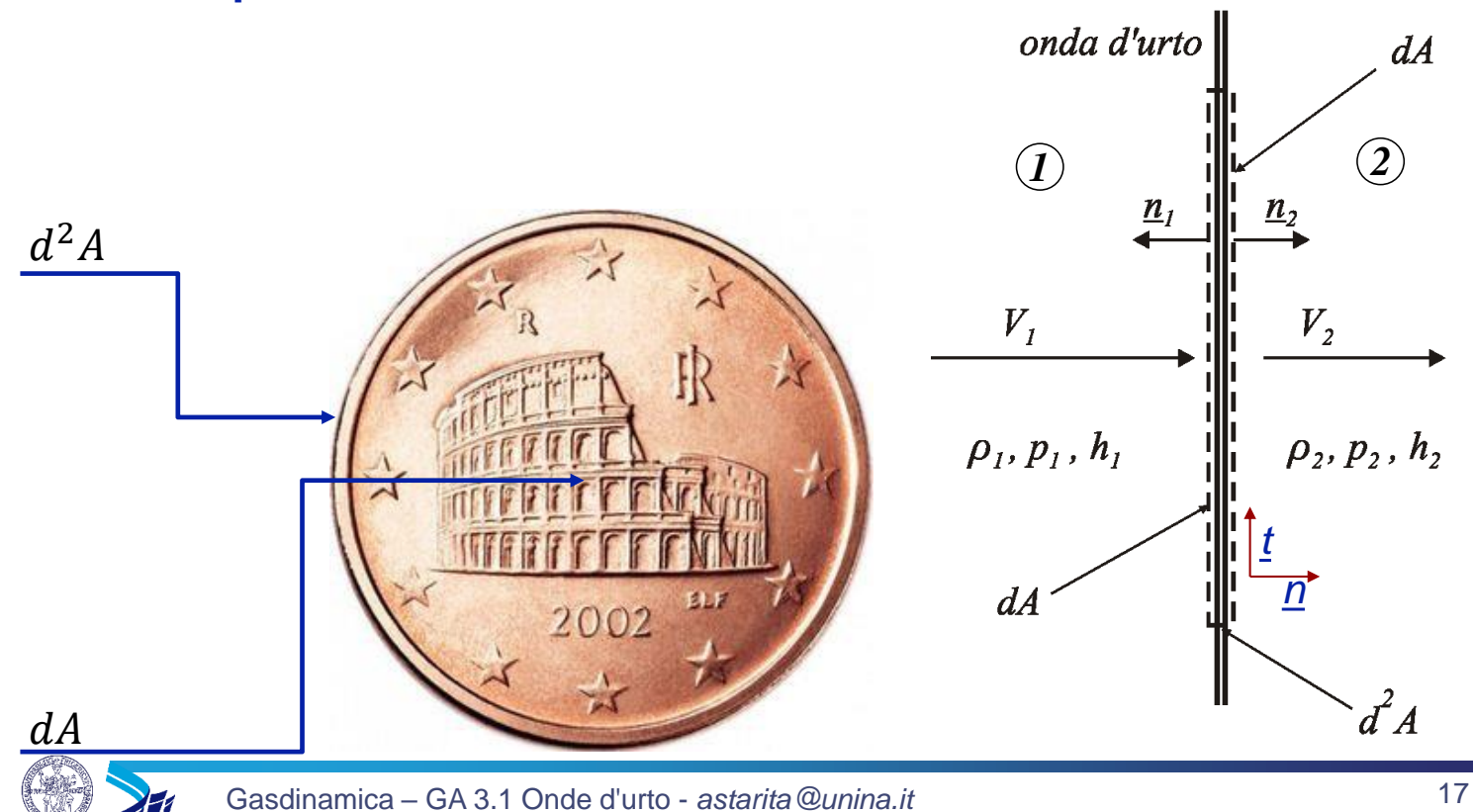
### Perché?

Lo spessore è molto inferiore a al diametro e si possono **trascurare** i termini che dipendono **dall'altezza** (i.e. quelli che dipendono dal volume o dalla superficie laterale).



### **Ipotesi**

Per poter considerare anche onde d'urto **curve** si può supporre che il diametro sia infinitesimo e che lo **spessore** sia un **infinitesimo** di **ordine superiore**.



### Onde d'urto normali

L'equazione della quantità di moto è:

$$\dot{m}(\underline{V}_2 - \underline{V}_1) + p_1 A_1 \underline{n}_1 + p_2 A_2 \underline{n}_2 + \underline{S} = \mathcal{M}\underline{g}$$

Il termine gravitazionale dipende dal volume, mentre la spinta dalla superficie laterale quindi sono entrambi **trascurabili**:

$$d\dot{m}\left(\underline{V}_2 - \underline{V}_1\right) + dA(p_1\underline{n}_1 + p_2\underline{n}_2) = 0$$

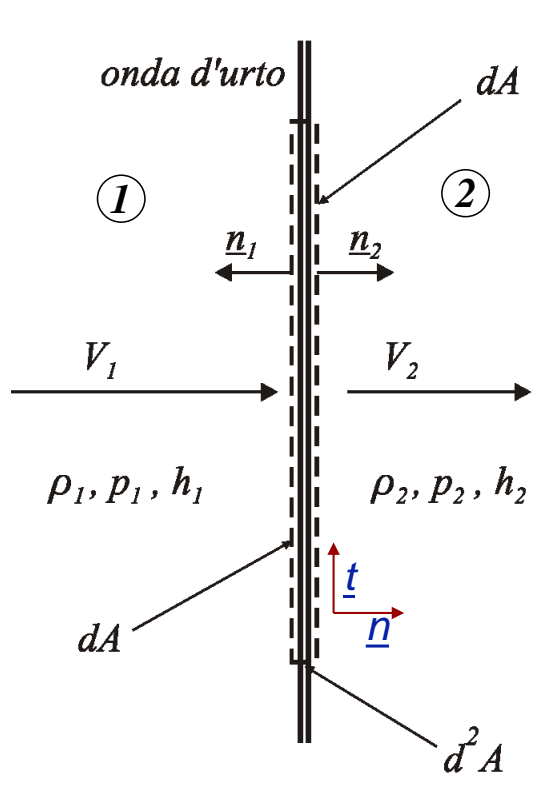
Proiettata In direzione tangenziale:

$$d\dot{m} (V_{t2} - V_{t1}) = 0 \rightarrow V_{t2} = V_{t1}$$

Un onda d'urto normale non provoca una deviazione della corrente.

L'equazione di conservazione della **massa** è:

$$d\dot{m} = \rho V dA = G dA = cost$$
  
 $\rho_1 V_1 = \rho_2 V_2 = G = cost$ 



### Onde d'urto normali

$$\rho_1 V_1 = \rho_2 V_2 = G = cost$$
  
$$d\dot{m} \left( \underline{V_2} - \underline{V_1} \right) + dA(p_1 \underline{n_1} + p_2 \underline{n_2}) = 0$$

Proiettata In direzione **normale** e dividendo per dA ( $\underline{n}_1 \cdot \underline{n} = -1$ ,  $\underline{n}_2 \cdot \underline{n} = 1$ ):

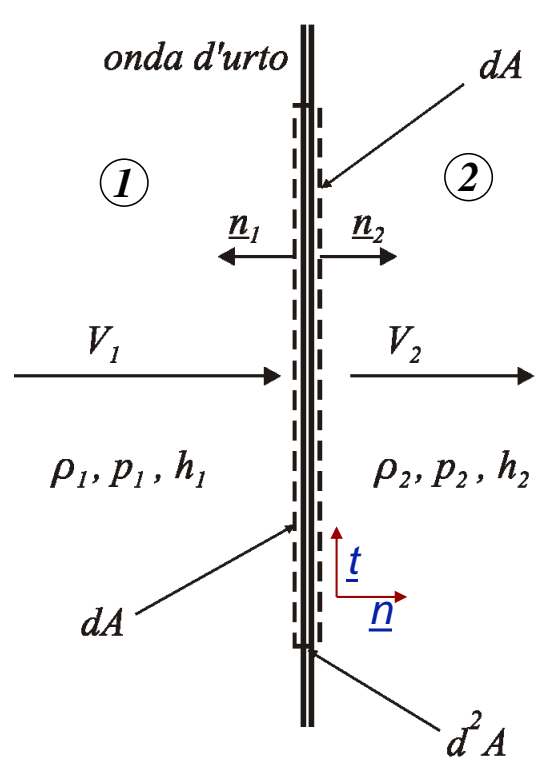
$$p_1 + \rho_1 V_1^2 = p_2 + \rho_2 V_2^2 = I = cost$$

L'equazione di conservazione dell'**energia** è:

$$\dot{m}\Delta H = \dot{Q} - \dot{L}$$

Nelle ipotesi fatte  $\dot{Q} = \dot{L} = 0$ . Quindi:

$$h_1 + \frac{V_1^2}{2} = h_2 + \frac{V_2^2}{2} = H = cost$$





Gasdinamica - GA 3.1 Onde d'urto - astarita @unina.it

19

#### Onde d'urto normali

Ricapitolando, attraverso un'onda d'urto rimangono **costanti** il flusso di massa, l'impulso specifico e l'entalpia totale:

$$\rho_1 V_1 = \rho_2 V_2 = G = cost$$

$$p_1 + \rho_1 V_1^2 = p_2 + \rho_2 V_2^2 = I = cost$$

$$h_1 + \frac{V_1^2}{2} = h_2 + \frac{V_2^2}{2} = H = cost$$

Nella derivazione di queste equazioni non è stata fatta alcuna **ipotesi** sul **modello di gas**. Sono quindi completamente **generali**.

Dalla prima equazione è immediato verificare che se l'onda è di compressione (aumento di densità) la velocità a valle diminuisce.

Dalla seconda e dalla terza (G = cost):

$$p_1 + GV_1 = p_2 + GV_2 = cost$$

Si nota che la pressione e l'entalpia sensibile devono aumentare.

Ricapitolando, attraverso un'onda d'urto rimangono **costanti** il flusso di massa, l'impulso specifico e l'entalpia totale:

$$\rho_1 V_1 = \rho_2 V_2 = G = cost$$

$$p_1 + \rho_1 V_1^2 = p_2 + \rho_2 V_2^2 = I = cost$$

$$h_1 + \frac{V_1^2}{2} = h_2 + \frac{V_2^2}{2} = H = cost$$

Per **gas più che perfetti** questo sistema d'equazioni, unito alle equazioni di stato, si può risolvere esplicitamente fornendo le grandezze a **valle** dell'onda in funzione di quelle a **monte**.

La **soluzione** benché non particolarmente complessa è **tediosa** e, nel seguito, saranno riportati solo i risultati ed alcuni passaggi più rilevanti.

Combinando queste equazioni si trova la **relazione di Prandtl** per le onde d'urto normali:

$$V_1V_2 = \frac{2}{v+1}a_o^2 = a^{*2} = cost$$



Gasdinamica – GA 3.1 Onde d'urto - astarita@unina.it

21

# Onde d'urto normali gas più che perfetti

Combinando queste equazioni si trova la **relazione di Prandtl** per le onde d'urto normali (naturalmente la relazione è simmetrica):

$$V_1V_2 = \frac{2}{v+1}a_o^2 = a^{*2} = cost$$

La velocità critica del suono è la media geometrica tra la velocità a monte e a valle dell'onda d'urto.

Si richiama per completezza la relazione già trovata in precedenza:

$$a^* = V^* = \sqrt{\frac{2H(\gamma - 1)}{\gamma + 1}} = V_l \sqrt{\frac{(\gamma - 1)}{\gamma + 1}} = a_o \sqrt{\frac{2}{\gamma + 1}}$$

Ha senso introdurre il numero di Mach riferito alla velocità del suono critica (*Mach star*):

$$M^* = \frac{V}{a^*}$$

Questo è l'unico caso in cui **non** si **utilizza l'apice** per indicare delle **condizioni critiche**.



La relazione di Prandtl per le onde d'urto normali diventa quindi:

$$M_1^*M_2^*=1$$

Ricordando la  $T_o = T\left(1 + \frac{\gamma - 1}{2}M^2\right)$  si ha:

$$M^{*2} = \frac{V^2}{a^2} \frac{a^2}{a^{*2}} = M^2 \frac{\gamma RT}{\gamma RT^*} = M^2 \frac{T}{T_o} \frac{T_o}{T^*} = \frac{M^2}{1 + \frac{\gamma - 1}{2} M^2} \left(1 + \frac{\gamma - 1}{2}\right)$$

$$M^{*2} = \frac{M^2}{1 + \frac{\gamma - 1}{2} M^2} \frac{\gamma + 1}{2}$$

Sostituendo questa relazione nella relazione di Prandtl si ottiene si ottiene infine la **relazione** che lega il numero di Mach a **valle**  $M_2$  a quello a **monte**  $M_1$  dell'onda:

$$M_2^2 = \frac{(\gamma - 1)M_1^2 + 2}{2\gamma M_1^2 - (\gamma - 1)}$$



Gasdinamica – GA 3.1 Onde d'urto - astarita @unina.it

23

# Onde d'urto normali gas più che perfetti

$$M_2^2 = \frac{(\gamma - 1)M_1^2 + 2}{2\gamma M_1^2 - (\gamma - 1)}$$

Si possono fare le seguenti osservazioni (si ricorda che per la stabilità termodinamica  $\gamma > 1$ ):

- per  $M_1 = 1$  si ha  $M_2 = 1$  che è la soluzione banale;
- il denominatore cresce più rapidamente del numeratore quindi la funzione è strettamente decrescente (quindi  $M_2 \le 1$ );
- per  $M_1 \to \infty$  si ha un asintoto (in parentesi il valore per  $\gamma = 1.4$ ):

$$M_{2l} = \lim_{M_1 \to \infty} M_2 = \sqrt{\frac{\gamma - 1}{2\gamma}} = (0.3780);$$

• il denominatore si annulla per  $M_1 = M_{2l}$  e per valori di  $M_1$  inferiore a questo valore la funzione restituisce valori complessi.

Utilizzando la relazione precedente si possono trovare i seguenti **rapporti caratteristici** per **onda d'urto normale**; essi sono funzione del solo numero di Mach a monte dell'onda d'urto e di  $\gamma$ .

$$\frac{p_2}{p_1} = \frac{2\gamma M_1^2 - (\gamma - 1)}{\gamma + 1}$$

$$\frac{T_2}{T_1} = \frac{\left(2\gamma M_1^2 - (\gamma - 1)\right)\left((\gamma - 1)M_1^2 + 2\right)}{(\gamma + 1)^2 M_1^2}$$

$$\frac{\rho_2}{\rho_1} = \frac{V_1}{V_2} = \frac{(\gamma + 1)M_1^2}{(\gamma - 1)M_1^2 + 2}$$

Come già detto per  $M_1 > 1$  la pressione, la temperatura e la densità aumentano a valle dell'onda ovvero i rapporti, per  $\gamma > 1$ , sono maggiori di uno.



Gasdinamica – GA 3.1 Onde d'urto - astarita@unina.it

25

# Onde d'urto normali gas più che perfetti

$$\frac{p_{o2}}{p_{o1}} = \left[ (\gamma + 1)^{-(\gamma + 1)} \left( (\gamma - 1) + \frac{2}{M_1^2} \right)^{\gamma} \left( 2\gamma M_1^2 - (\gamma - 1) \right) \right]^{\frac{1}{1 - \gamma}}$$

Il rapporto fra le pressioni di ristagno, invece, è per  $M_1 > 1$  minore di uno, quindi la pressione di ristagno a valle dell'onda diminuisce.

La relazione fondamentale entopica, applicata in condizioni di ristagno e per  $T_{o2} = T_{o1}$  è:

$$s_2 - s_1 = c_p \ln \frac{T_2}{T_1} - R \ln \frac{p_2}{p_1} = -R \ln \frac{p_{o2}}{p_{o1}}$$

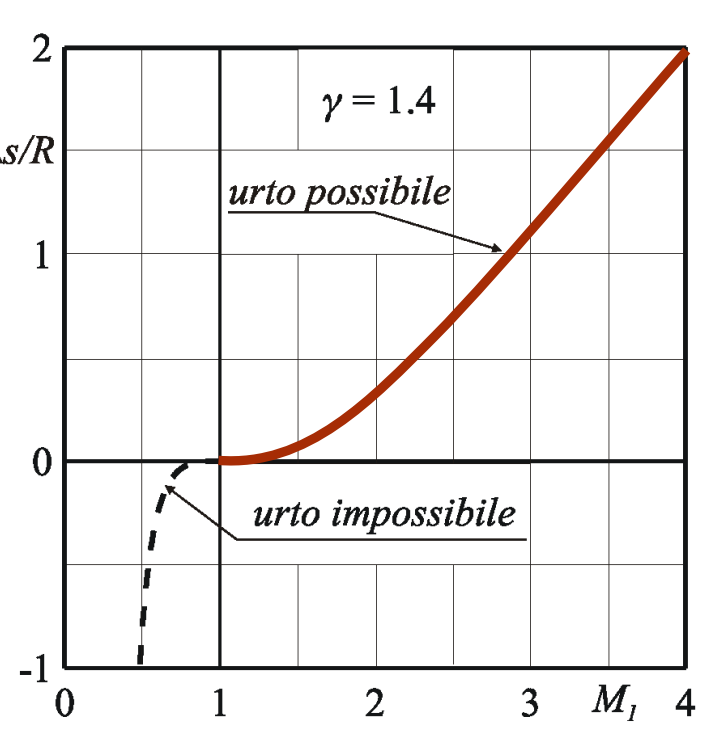
Da cui si valuta la variazione di entropia attraverso un onda d'urto:

$$\frac{\Delta s}{R} = \frac{\left[-(\gamma+1)\ln(\gamma+1) + \gamma\ln(\gamma-1) + \frac{2}{M_1^2} + \ln\left(2\gamma M_1^2 - (\gamma-1)\right)\right]}{\gamma-1}$$

$$\frac{\Delta s}{R} = \frac{\left[ -(\gamma + 1)\ln(\gamma + 1) + \gamma\ln(\gamma - 1) + \frac{2}{M_1^2} + \ln\left(2\gamma M_1^2 - (\gamma - 1)\right) \right]}{\gamma - 1}$$

Per il **secondo principio** della **termodinamica** il salto di **entropia**  $\Delta s/R$  deve essere **positivo** ed è possibile dare un verso alla 1 trasformazione.

Dal diagramma si vede che gli unici **urti possibili** sono quelli in cui  $M_1 \ge 1$ .





Gasdinamica – GA 3.1 Onde d'urto - astarita@unina.it

28

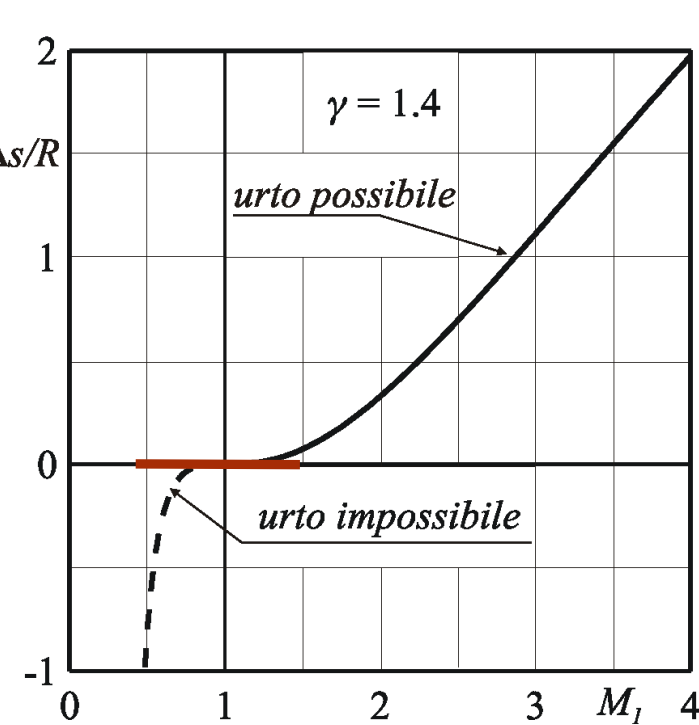
# Onde d'urto normali gas più che perfetti

$$\frac{\Delta s}{R} = \frac{\left[ -(\gamma + 1)\ln(\gamma + 1) + \gamma\ln(\gamma - 1) + \frac{2}{M_1^2} + \ln\left(2\gamma M_1^2 - (\gamma - 1)\right) \right]}{\gamma - 1}$$

Espandendo in serie di Taylor, nell'intorno di  $M_1 = 1$  si ha:

$$\lim_{M_1 \to 1} \frac{\Delta s}{R} = \frac{2}{3} \frac{\gamma}{(\gamma + 1)^2} (M_1^2 - 1)^3$$

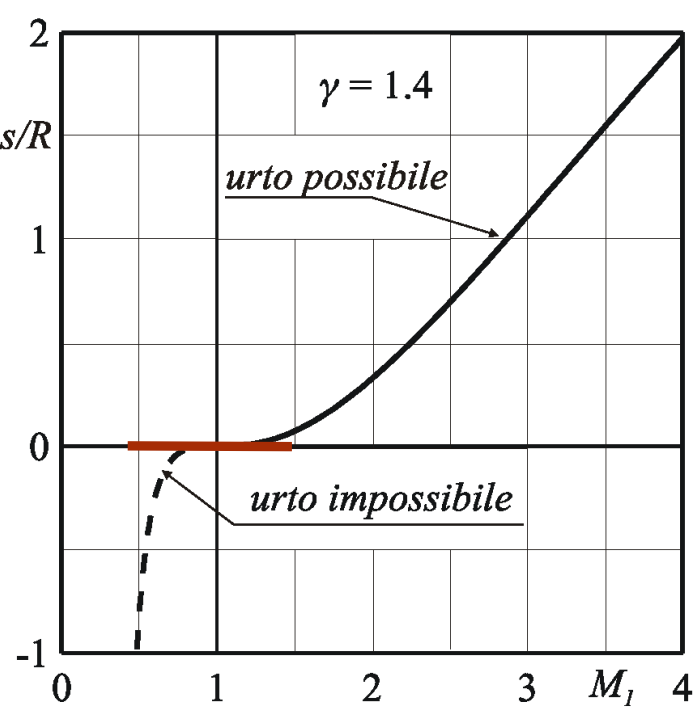
La variazione d'entropia ha un flesso a tangente orizzontale, ovvero la prime due derivate, nell'intorno di  $M_1=1$  sono nulle.



$$\frac{\Delta s}{R} = \frac{\left[ -(\gamma + 1) \ln(\gamma + 1) + \gamma \ln(\gamma - 1) + \frac{2}{M_1^2} + \ln\left(2\gamma M_1^2 - (\gamma - 1)\right) \right]}{\gamma - 1}$$

Le onde d'urto che avvengono per  $M_1=1$ , dette **onde di Mach**, sono  $\Delta s/R$  praticamente **isoentropiche**, cioè **reversibili**.

Le onde di Mach, essendo reversibili possono essere sia di **compressione** sia di **espansione**.





Gasdinamica - GA 3.1 Onde d'urto - astarita @unina.it

30

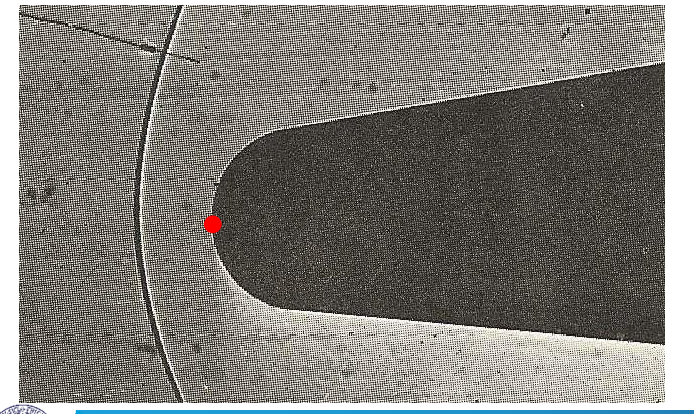
# Onde d'urto normali gas più che perfetti

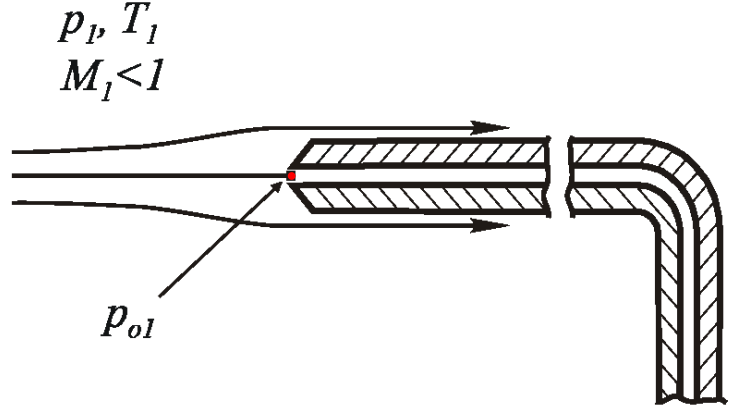
In regime subsonico il tubo di Pitot è utilizzato per misurare la velocità della corrente. Si ipotizza che la corrente rallenti in modo adiabatico ed isentropico raggiungendo le condizioni di ristagno nel punto rosso di figura. Il tubo di Pitot misura la pressione di ristagno.

Applicando le relazioni **isentropiche** o, se il regime di moto è incompressibile, l'equazione di **Bernoulli** si può facilmente calcolare la **velocità**.

In regime supersonico, il tubo di Pitot si comporta come un corpo

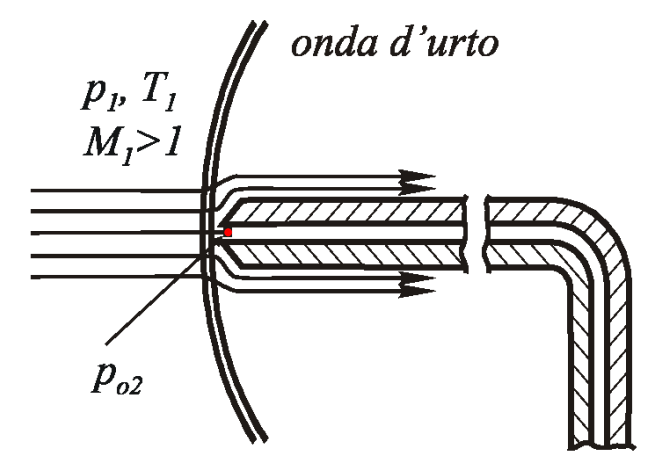
tozzo e nasce un onda d'urto.

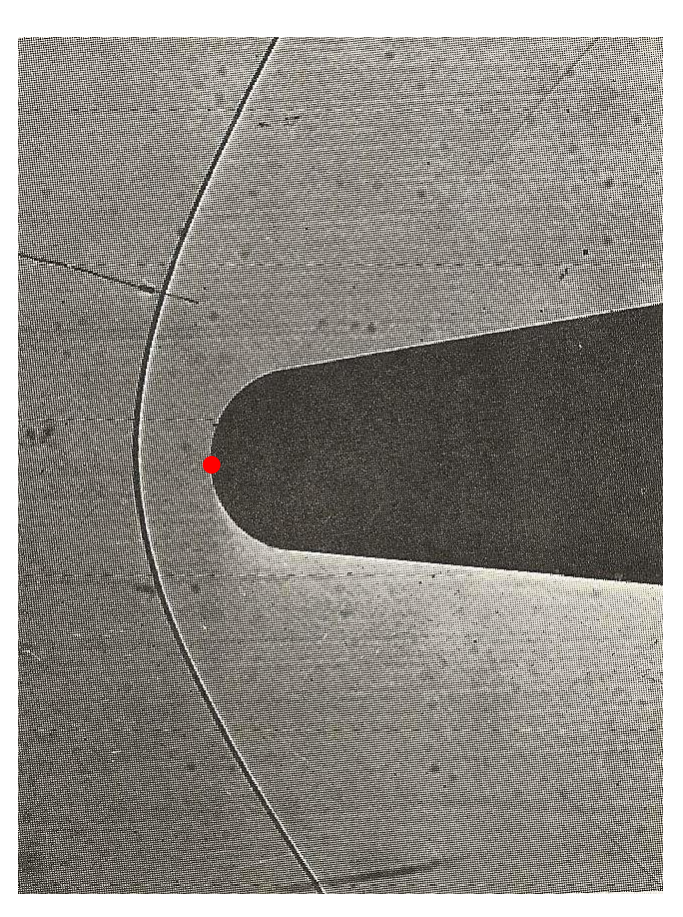




In figura è visualizzata l'onda d'urto generata in un flusso **supersonico** su un cono smussato a M = 1.36.

L'onda, sull'asse del cono, è **normale** all'asse stesso e, in questo caso, nel punto rosso si raggiungono le condizioni si **ristagno** a **valle** dell'onda d'urto.







Gasdinamica - GA 3.1 Onde d'urto - astarita @unina.it

32

# Onde d'urto normali gas più che perfetti

In un tunnel **supersonico** è relativamente facile misurare la pressione statica  $p_1$  a **monte dell'onda** d'urto con una presa di pressione posta sulle pareti del tunnel.

Il rapporto  $p_{o2}/p_1$ , detto anche **funzione di Rayleigh**, è quindi utile per la misura del numero di Mach in un tunnel supersonico.

$$\frac{p_{o2}}{p_1} = \left(\frac{\gamma + 1}{2}\right)^{\frac{\gamma + 1}{\gamma - 1}} \left(\frac{2M_1^{2\gamma}}{2\gamma M_1^2 - (\gamma - 1)}\right)^{\frac{1}{\gamma - 1}}$$

$$p_1, T_1$$

$$M_1 > 1$$

$$p_{o2}$$

$$p_{o2}$$



Ricapitolando:

$$M_{2}^{2} = \frac{(\gamma - 1)M_{1}^{2} + 2}{2\gamma M_{1}^{2} - (\gamma - 1)}, \qquad \frac{\rho_{2}}{\rho_{1}} = \frac{V_{1}}{V_{2}} = \frac{(\gamma + 1)M_{1}^{2}}{(\gamma - 1)M_{1}^{2} + 2}$$

$$\frac{p_{2}}{p_{1}} = \frac{2\gamma M_{1}^{2} - (\gamma - 1)}{\gamma + 1}, \qquad \frac{T_{2}}{T_{1}} = \frac{\left(2\gamma M_{1}^{2} - (\gamma - 1)\right)\left((\gamma - 1)M_{1}^{2} + 2\right)}{(\gamma + 1)^{2}M_{1}^{2}}$$

$$\frac{p_{o2}}{p_{o1}} = \left[(\gamma + 1)^{-(\gamma + 1)}\left((\gamma - 1) + \frac{2}{M_{1}^{2}}\right)^{\gamma}\left(2\gamma M_{1}^{2} - (\gamma - 1)\right)\right]^{\frac{1}{1 - \gamma}}$$

$$\frac{p_{o2}}{p_1} = \left(\frac{\gamma + 1}{2}\right)^{\frac{\gamma + 1}{\gamma - 1}} \left(\frac{2M_1^{2\gamma}}{2\gamma M_1^2 - (\gamma - 1)}\right)^{\frac{1}{\gamma - 1}}$$



Gasdinamica - GA 3.1 Onde d'urto - astarita@unina.it

34

# Onde d'urto normali gas più che perfetti

Oppure in forma più compatta con:

$$\Theta = 2\gamma M_1^2 - (\gamma - 1), \qquad \Xi = (\gamma - 1)M_1^2 + 2:$$

$$M_2^2 = \frac{\Xi}{\Theta}:$$

$$\frac{\rho_2}{\rho_1} = \frac{V_1}{V_2} = \frac{(\gamma + 1)M_1^2}{\Xi}, \qquad \frac{p_2}{p_1} = \frac{\Theta}{\gamma + 1}, \qquad \frac{T_2}{T_1} = \frac{\Theta\Xi}{(\gamma + 1)^2 M_1^2}$$

$$\frac{p_{o2}}{p_{o1}} = (\gamma + 1)^{\frac{\gamma + 1}{\gamma - 1}} \left(\frac{\Xi}{M_1^2}\right)^{\frac{\gamma}{1 - \gamma}} \Theta^{\frac{1}{1 - \gamma}}$$

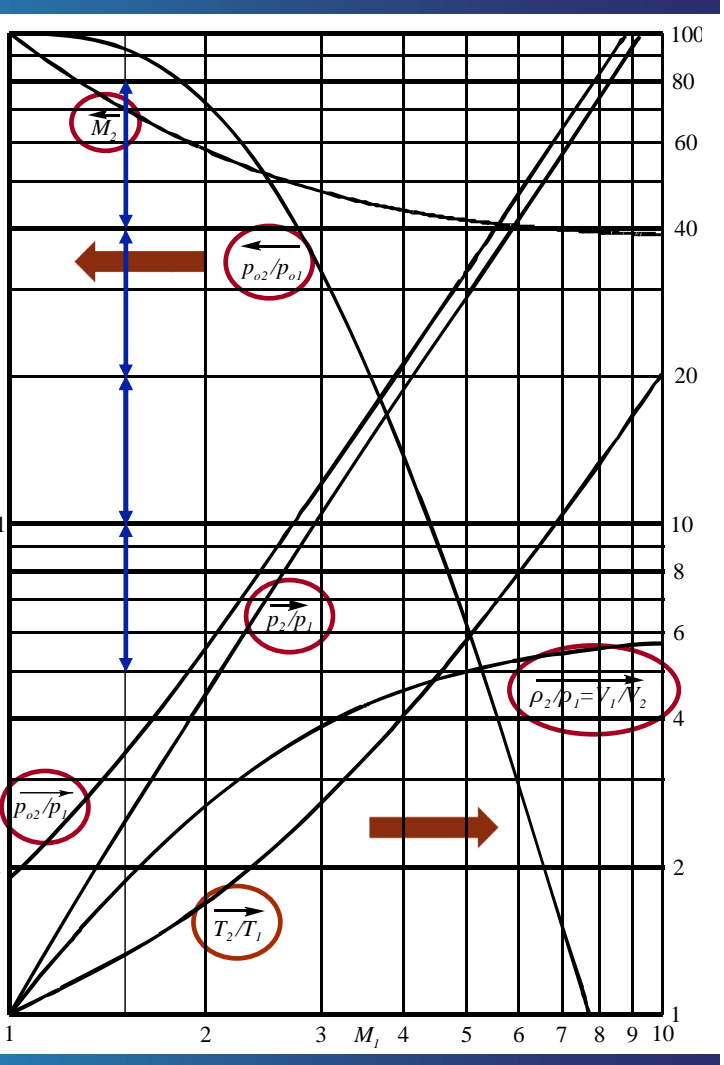
$$\frac{p_{o2}}{p_1} = \left(\frac{\gamma + 1}{2}\right)^{\frac{\gamma + 1}{\gamma - 1}} \left(\frac{2M_1^{2\gamma}}{\Theta}\right)^{\frac{1}{\gamma - 1}}$$

Il diagramma è **bi-logaritmico**. In <sup>0.6</sup> modo da meglio visualizzare grandi <sub>0.4</sub> variazioni.

In un diagramma **logaritmico a** parità di distanza lungo un asse sia <sup>0.2</sup> hanno le stesse variazioni percentuali.

I rapporti che si leggono sulla scala.08 di **destra** comportano un **aumento**.06 della grandezza attraverso l'urto.

I rapporti che si leggono sulla scala<sup>0.04</sup> di **sinistra** comportano una **diminuzione** della grandezza<sub>0.02</sub> attraverso l'urto.





Gasdinamica – GA 3.1 Onde d'urto - astarita @unina.it

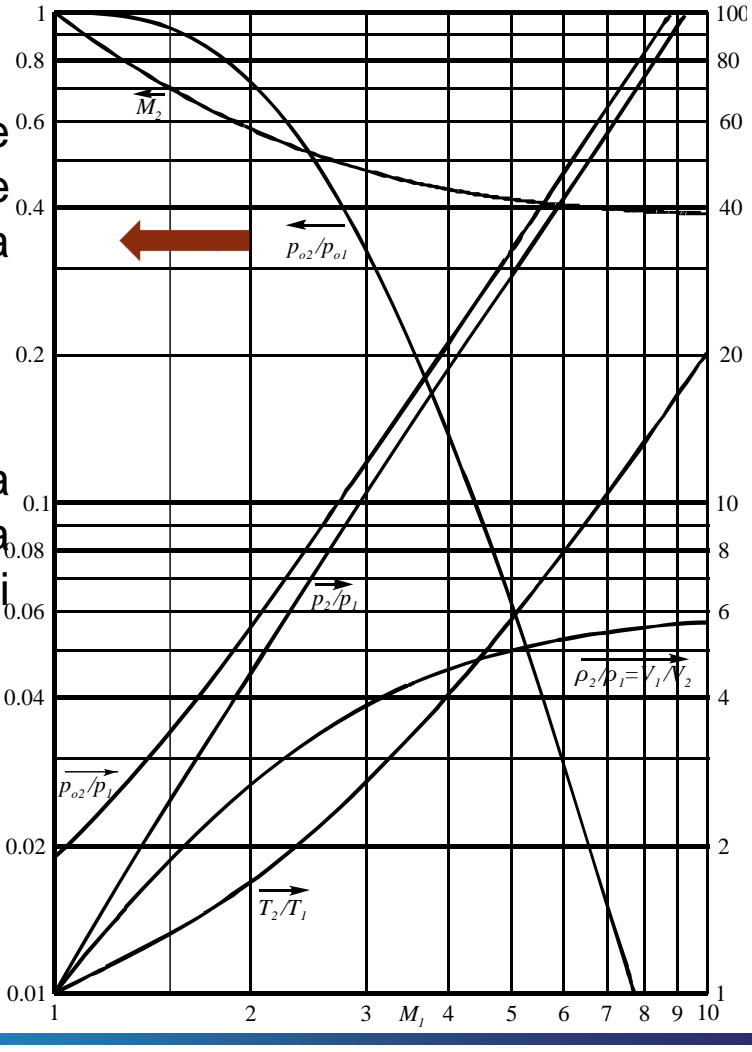
36

# Onde d'urto normali gas PCP

Per numero di **Mach** a monte  $^{0.6}$  prossimo a 1 si ha  $p_{o2}/p_{o1}\cong 1$  e  $_{0.4}$  l'onda può essere considerata **isentropica**.

$$s_2 - s_1 = -R \ln \frac{p_{o2}}{p_{o1}}$$

Infatti la pendenza iniziale della pressione e maggiore di quella della densità che è maggiore di quella della temperatura.

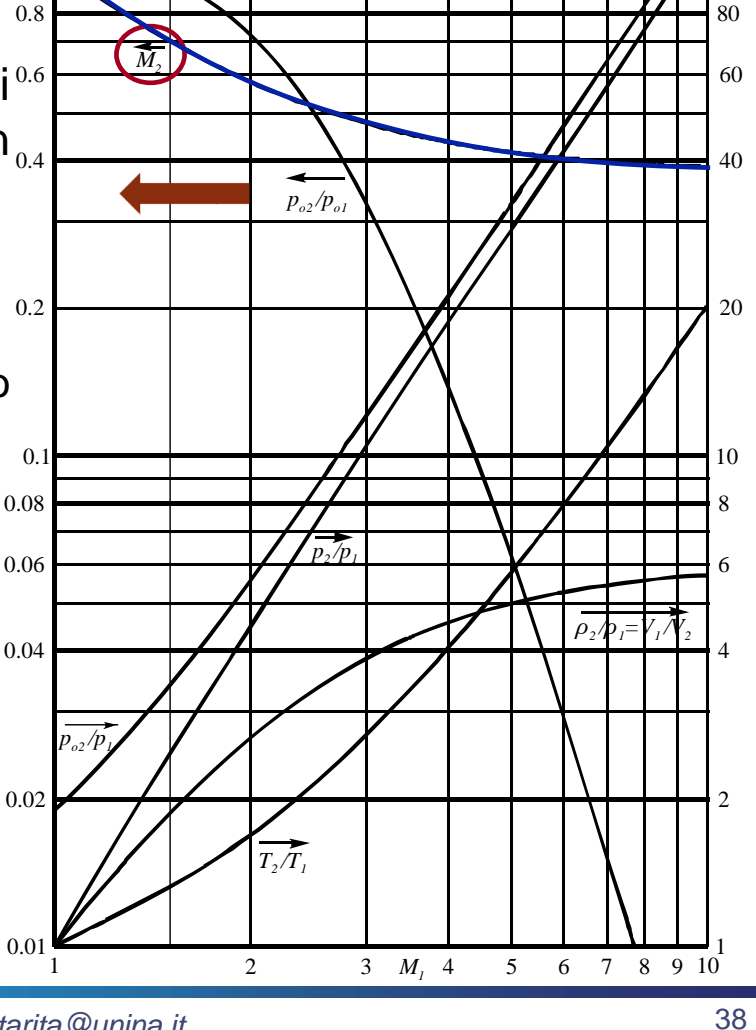


 $di^{\,0.6}$ All'aumentare del numero **Mach** a monte dell'onda  $M_1$  da 1 in  $_{0.4}$ su, si ha una diminuzione:

$$M_2^2 = \frac{(\gamma - 1)M_1^2 + 2}{2\gamma M_1^2 - (\gamma - 1)}$$

del numero di Mach a valle  $M_2$ , sino al valore asintotico  $M_{2l}$ ;

$$M_{2l} = \sqrt{\frac{\gamma - 1}{2\gamma}} = (0.3780);$$





Gasdinamica - GA 3.1 Onde d'urto - astarita @unina.it

100

100

# Onde d'urto normali gas PCP

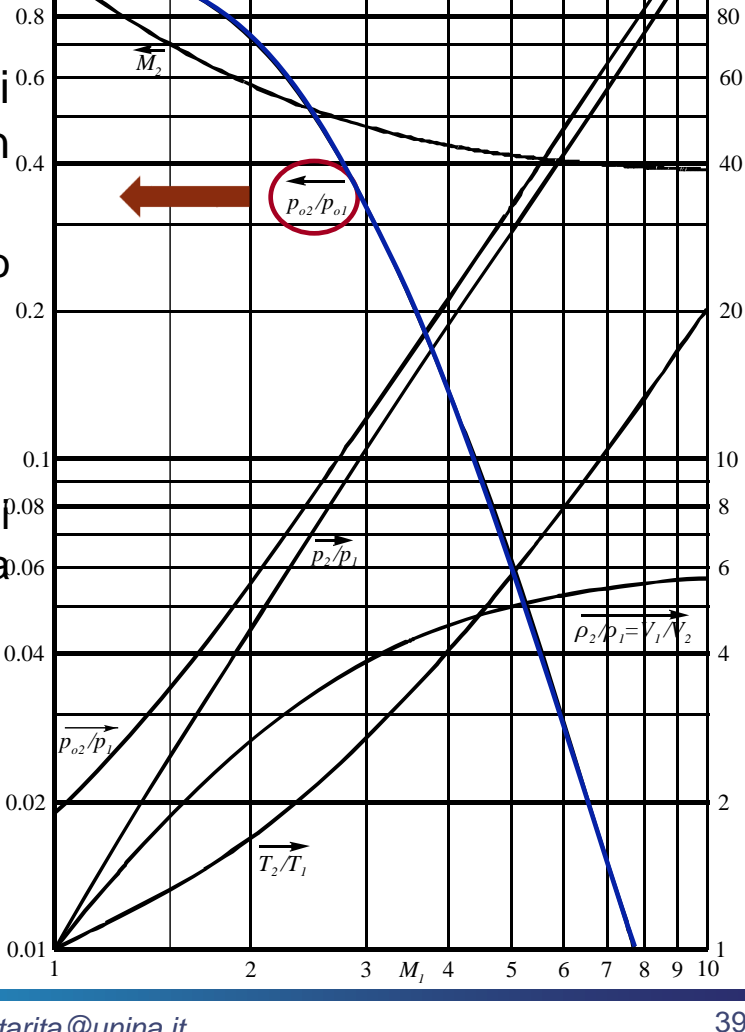
 $di^{\,0.6}$ All'aumentare del numero **Mach** a monte dell'onda  $M_1$  da 1 in<sub>0.4</sub> su, si ha una diminuzione:

del numero di Mach a valle  $M_2$ , sino al valore asintotico  $M_{21}$ ;

$$\frac{p_{o2}}{p_{o1}} = (\gamma + 1)^{-\frac{\gamma+1}{\gamma-1}} \left(\frac{\Xi}{M_1^2}\right)^{\frac{\gamma}{\gamma-1}} \Theta^{\frac{1}{\gamma-1}};$$

del rapporto tra le pressioni d<sup>p.08</sup> ristagno (aumenta l'entropia) sino a.06 zero.

$$\lim_{M_1 \to \infty} \frac{p_{o2}}{p_{o1}} = \cos t \, M_1^{\frac{2}{1-\gamma}} = 0;$$

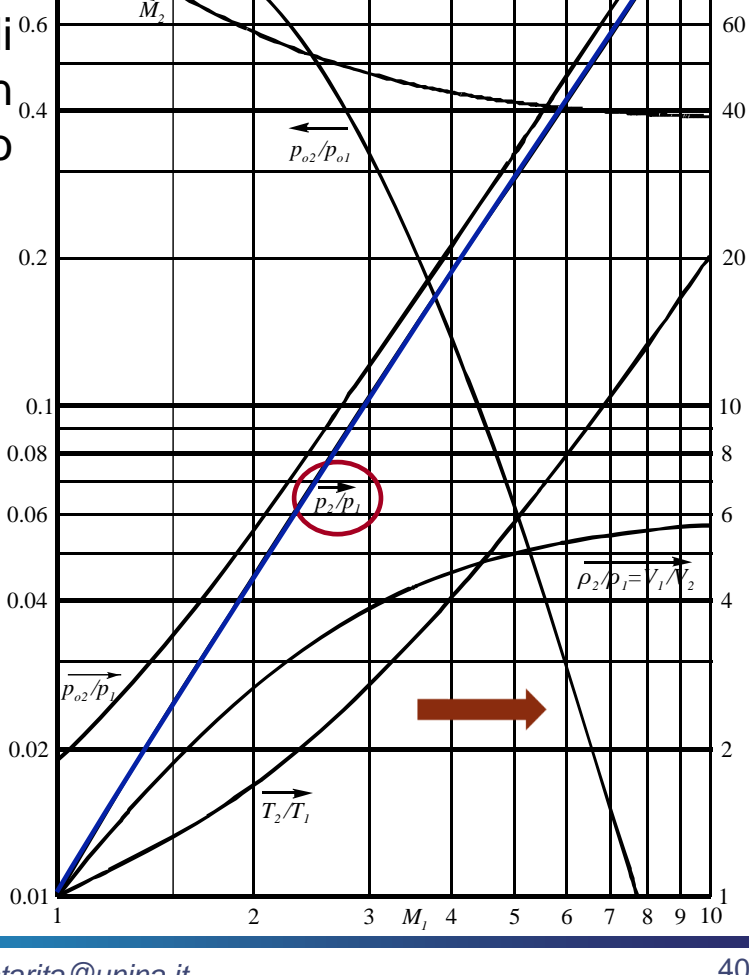


**All'aumentare**  $di^{0.6}$ del numero **Mach** a monte dell'onda  $M_1$  da 1 in<sub>0.4</sub> su, si ha una aumento indefinito dei rapporti di:

$$\frac{p_2}{p_1} = \frac{2\gamma M_1^2 - (\gamma - 1)}{\gamma + 1};$$

pressione;

$$\lim_{M_1\to\infty}\frac{p_2}{p_1}=\frac{2\gamma}{\gamma+1}M_1^2=\infty;$$





Gasdinamica - GA 3.1 Onde d'urto - astarita @unina.it

40

100

80

# Onde d'urto normali gas PCP

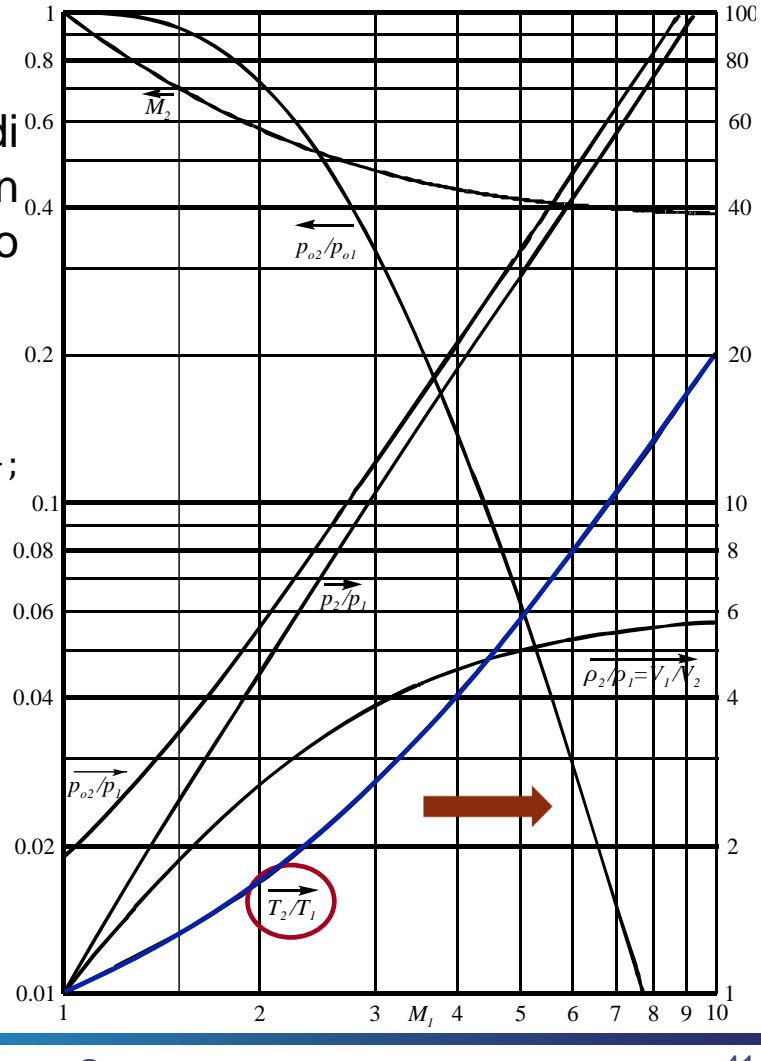
All'aumentare del  $di^{0.6}$ numero **Mach** a monte dell'onda  $M_1$  da 1 in  $_{0.4}$ su, si ha una aumento indefinito dei rapporti di:

pressione;

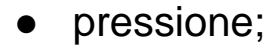
$$\frac{T_2}{T_1} = \frac{\left(2\gamma M_1^2 - (\gamma - 1)\right)\left((\gamma - 1)M_1^2 + 2\right)}{(\gamma + 1)^2 M_1^2};$$

temperatura;

$$\lim_{M_1 \to \infty} \frac{T_2}{T_1} = \frac{2\gamma(\gamma - 1)}{\gamma + 1} M_1^2 = \infty;$$



 $di^{\,0.6}$ del All'aumentare numero **Mach** a monte dell'onda  $M_1$  da 1 in<sub>0.4</sub> su, si ha una aumento indefinito dei rapporti di:

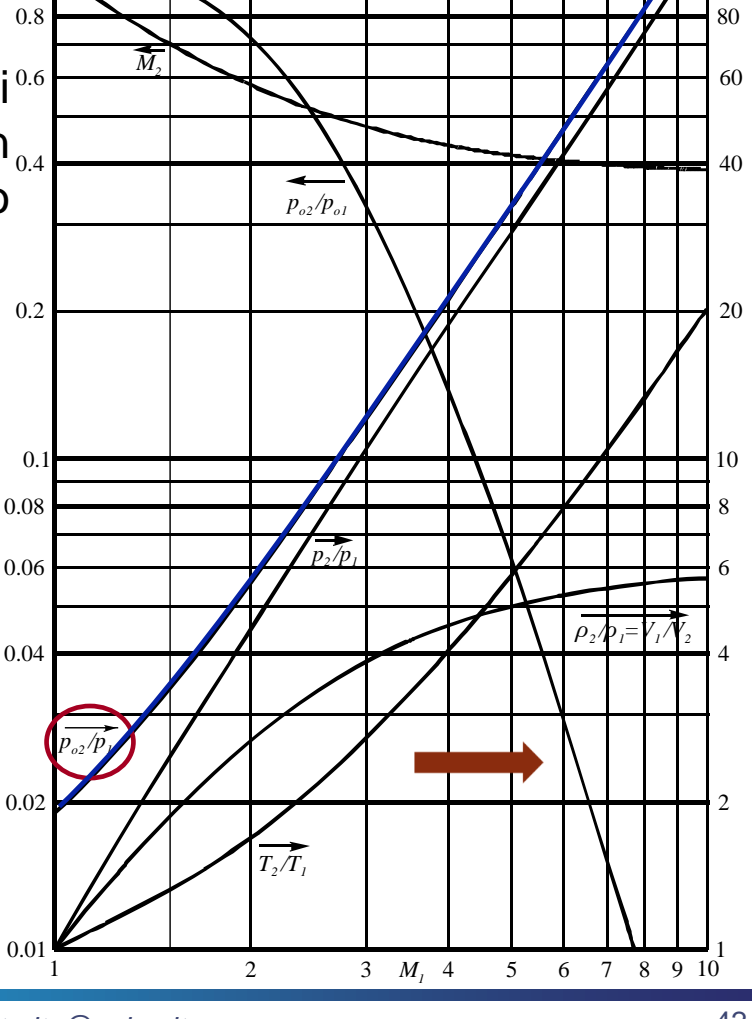


temperatura;

$$\frac{p_{o2}}{p_1} = \left(\frac{\gamma + 1}{2}\right)^{\frac{\gamma + 1}{\gamma - 1}} \left(\frac{2M_1^{2\gamma}}{2\gamma M_1^2 - (\gamma - 1)}\right)^{\frac{1}{\gamma - 1}}$$

della funzione di Rayleigh;

$$\lim_{M_1 \to \infty} \frac{p_{o2}}{p_1} = \cos t \ M_1^2 = \infty$$





Gasdinamica - GA 3.1 Onde d'urto - astarita @unina.it

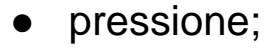
42

100

100

# Onde d'urto normali gas PCP

All'aumentare del numero **Mach** a monte dell'onda  $M_1$  da 1 in  $_{0.4}$ su, si ha una aumento indefinito dei rapporti di:

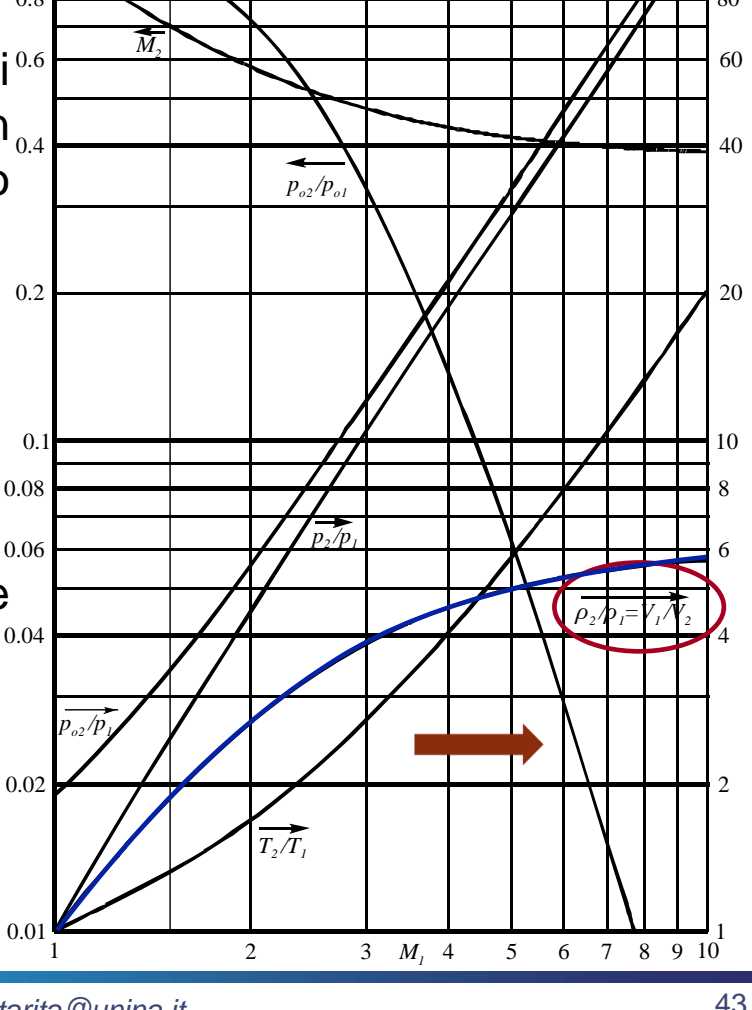


- temperatura;
- della funzione di Rayleigh;

$$\frac{\rho_2}{\rho_1} = \frac{V_1}{V_2} = \frac{(\gamma + 1)M_1^2}{(\gamma - 1)M_1^2 + 2}$$

L'aumento della densità è invece limitato:

$$\lim_{M_1 \to \infty} \frac{\rho_2}{\rho_1} = \frac{(\gamma + 1)}{(\gamma - 1)} = (6)$$



## **Tabelle - NSW**

## Queste funzioni sono tabellate:

	Moto Isentropico (γ=1.4)					Prandtl	e Meyer	Onde d'urto normali (γ=1.4)						
М	p /p o	ρ/ρ₀	$T/T_{o}$	$\rho V^2/2p_o$	$A/A^*$	<b>M</b> *	ν(°)	μ(°)	M 2	$p_2/p_I$	$\rho_2/\rho_I$	$T_2/T_I$	p o2 /p o1	$p_1/p_{\theta 2}$
1.00 1.01 1.02 1.03 1.04	.5283 .5221 .5160 .5099 .5039	.6339 .6287 .6234 .6181 .6129	.8333 .8306 .8278 .8250 .8222	.3698 .3728 .3758 .3787 .3815	1.000 1.000 1.000 1.001 1.001	1.000 1.008 1.017 1.025 1.033	.0000 .4472 -1 .1257 .2294 .3510	9.000 +1 8.193 +1 7.864 +1 7.614 +1 7.406 +1	1.000 .9901 .9805 .9712 .9620	1.000 1.023 1.047 1.071 1.095	1.000 1.017 1.033 1.050 1.067	1.000 1.007 1.013 1.020 1.026	1.000 1.000 1.000 1.000 .9999	.5283 .5221 .5160 .5100 .5039
Ţ	4050	C088	0100	20.42	1000	1041	4054	7.005 · 1	W-25-0	U VAVIO	2004		W.W.W.	arrowth.

	Onde d'urto normali (γ=1.4)								
M	$M_2$	$p_2/p_1$	$\rho_2/\rho_1$	$T_2/T_1$	$p_{o2}/p_{o1}$	$p_1/p_{\theta 2}$			
1.00	1.000	1.000	1.000	1.000	1.000	.5283			
1.01 1.02	.9901 .9805	1.023 1.047	1.017 1.033	1.007 1.013	1.000 1.000	.5221 .5160			
1.03 1.04	.9712 .9620	1.071 1.095	1.050 1.067	1.020 1.026	1.000 .9999	.5100 .5039			



Gasdinamica - GA 3.1 Onde d'urto - astarita @unina.it

45

## Tabelle - NSW

# Queste funzioni sono tabellate:

	Onde d'urto normali (γ=1.4)								
M	$M_2$	$p_2/p_1$	$\rho_2/\rho_1$	$T_2/T_1$	$p_{o2}/p_{o1}$	$p_1/p_{02}$			
1.00	1.000	1.000	1.000	1.000	1.000	.5283			
1.01	.9901	1.023	1.017	1.007	1.000	.5221			
1.02	.9805	1.047	1.033	1.013	1.000	.5160			
1.03	.9712	1.071	1.050	1.020	1.000	.5100			
1.04	.9620	1.095	1.067	1.026	.9999	.5039			

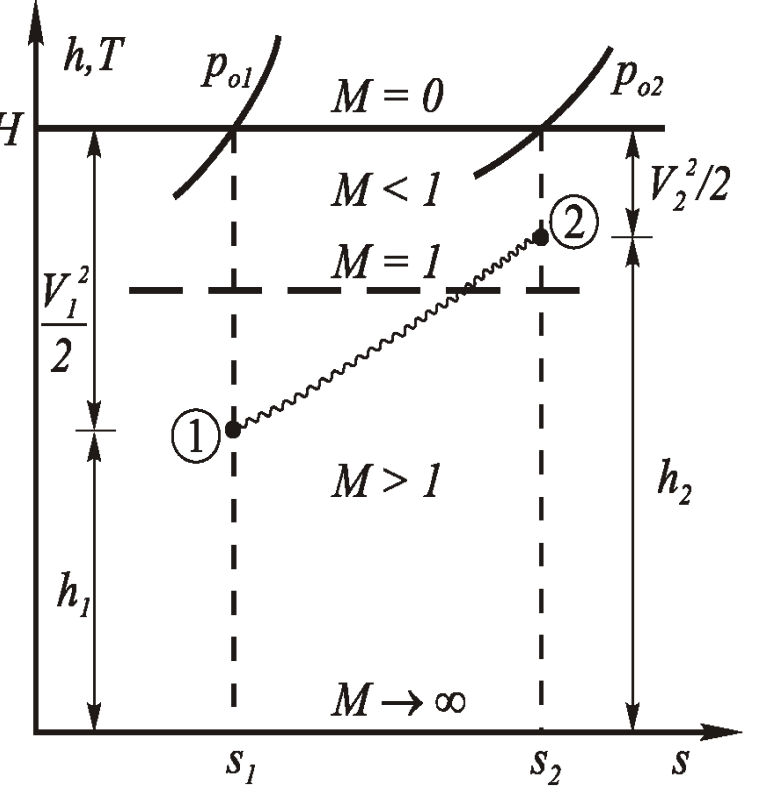


15.00	.3823	2.623 + 2	5.870	4.469 +1	.4395 -3	.3446 -2
17.50	.3811	3.571 + 2	5.904	6.049 +1	.2074 -3	.2533 -2
20.00	.3804	4.665 +2	5.926	7.872 + 1	.1078 -3	.1940 -2
8	.3780	∞	6.000	∞	.0000	.0000

Attraverso l'onda d'urto H=cost H mentre s aumenta. Avendo fissato  $T_o$  (e H) rette orizzontali oltre ad essere delle **isoterme** sono rette:

$$h = c_p T$$

a entalpia costante;





Gasdinamica - GA 3.1 Onde d'urto - astarita @unina.it

#### 47

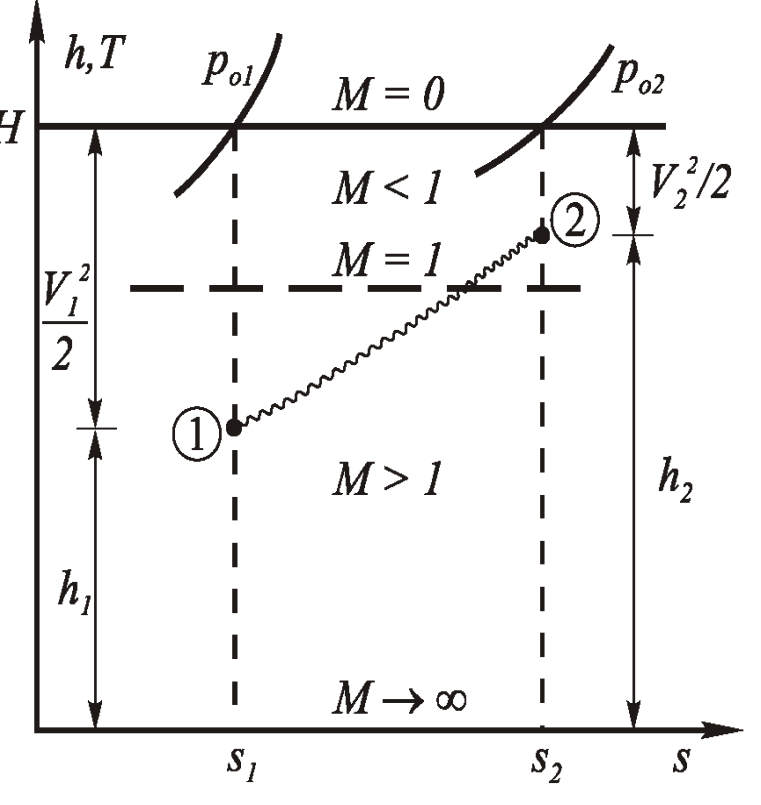
# Onde d'urto normali gas PCP

Attraverso l'onda d'urto  $H=cost_H$  mentre s aumenta. Avendo fissato  $T_o$  (e H) rette orizzontali oltre ad essere delle **isoterme** sono rette:

a entalpia costante;

$$H = h + \frac{V^2}{2}$$

a velocità costante;

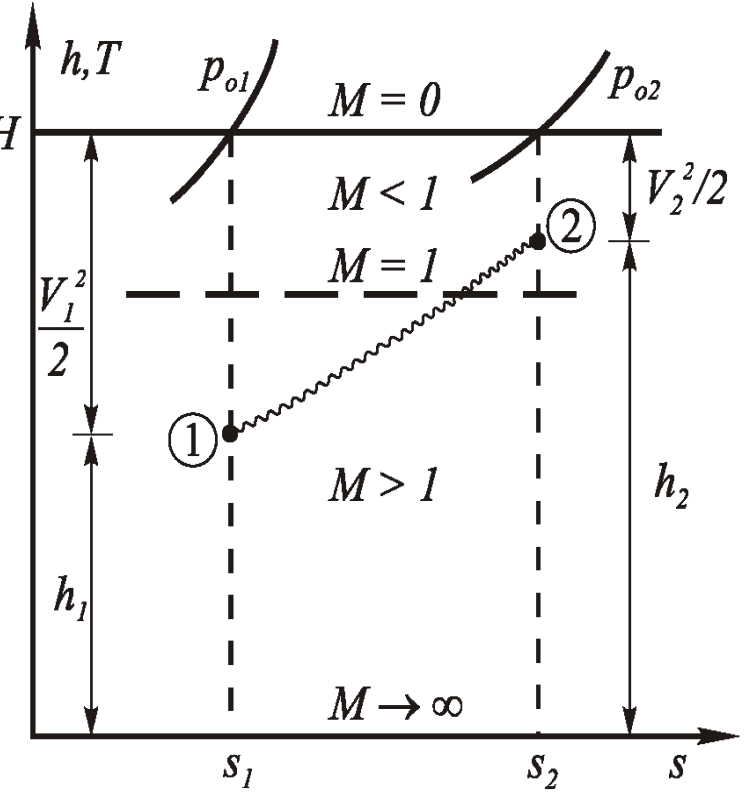


Attraverso l'onda d'urto  $H=cost_H$  mentre s aumenta. Avendo fissato  $T_o$  (e H) rette orizzontali oltre ad essere delle **isoterme** sono rette:

- a entalpia costante;
- a velocità costante;

$$M = \frac{V}{\sqrt{\gamma RT}}$$

a numero di Mach costante;





Gasdinamica - GA 3.1 Onde d'urto - astarita @unina.it

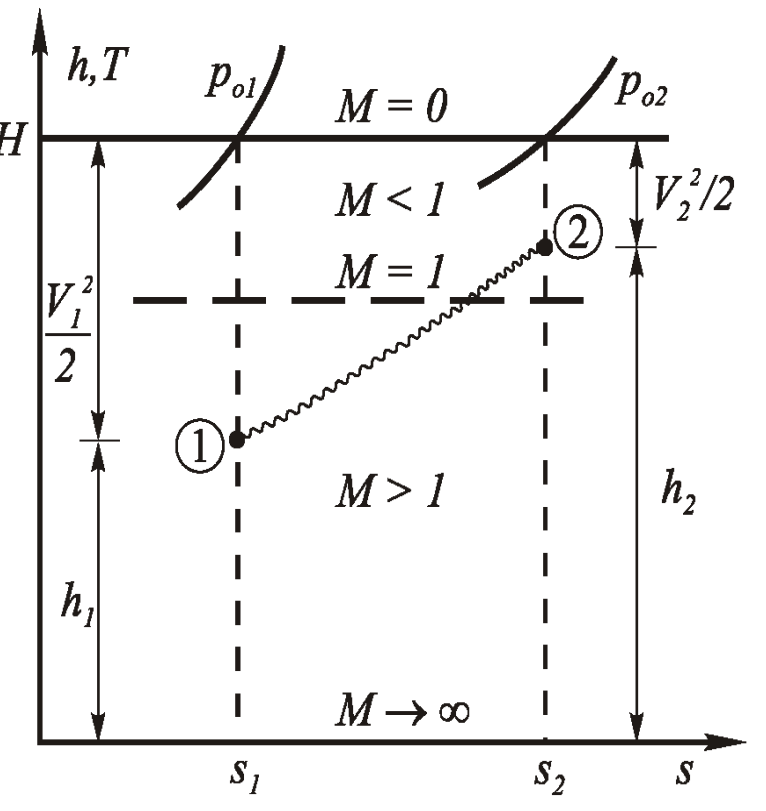
49

## Onde d'urto normali gas PCP

Attraverso l'onda d'urto  $H=cost_H$  mentre s aumenta. Avendo fissato  $T_o$  (e H) rette orizzontali oltre ad essere delle isoterme sono rette:

- a entalpia costante;
- a velocità costante;
- a numero di Mach costante;

La retta a *M*=1, indicata in figura con il tratteggio, separa il moto **supersonico** da quello **subsonico**. I punti a monte (1) ed a valle (2) sono indicati in figura.



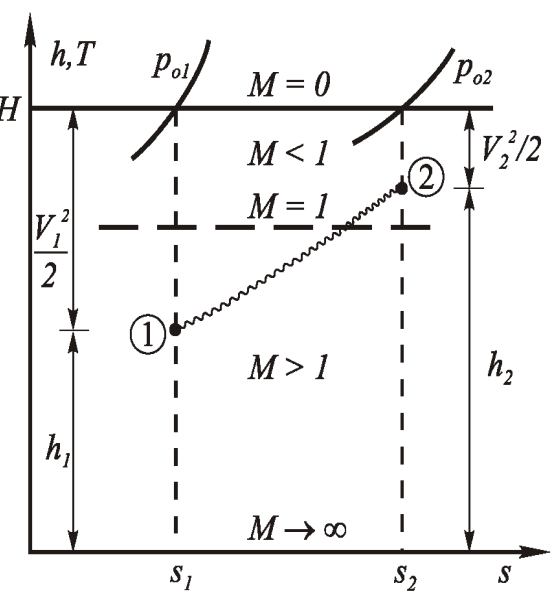
Il collegamento è indicato con una linea **ondulata** per mettere in risalto che la trasformazione **non** è **reversibile** ( $\dot{s} > 0$ ).

Un onda d'urto è una superficie di discontinuità attraverso la quale avviene H una brusca conversione di energia cinetica ordinata in energia cinetica disordinata ad entalpia totale costante.

$$\rho V = G = cost$$

Per la continuità la diminuzione di velocità dà luogo ad un brusco innalzamento della densità.

$$p + \rho V^2 = p + GV = I = cost$$



Dal bilancio della quantità di moto un aumento della pressione.

$$h + \frac{V^2}{2} = H = cost$$

Dalla conservazione dell'energia un aumento di temperatura e entalpia. Ovviamente anche l'entropia aumenta.



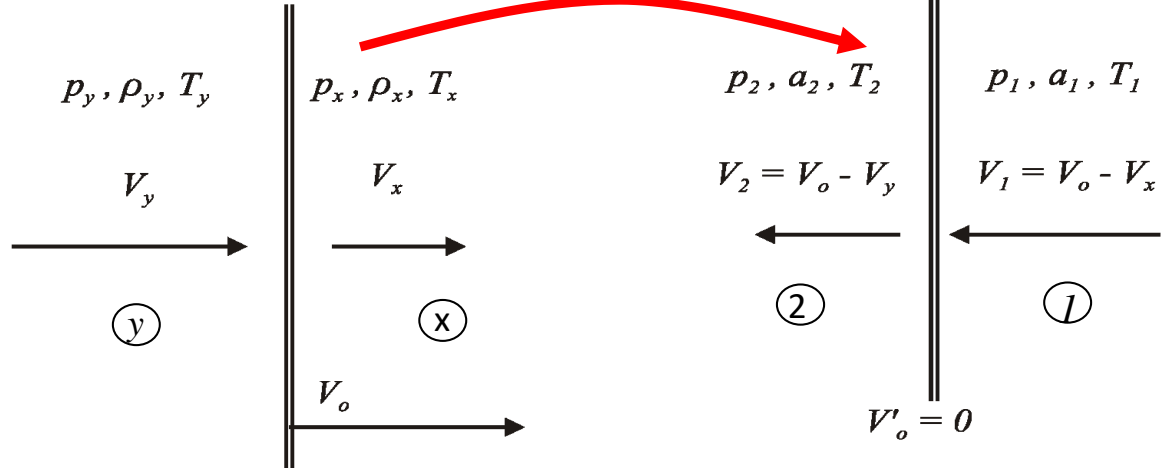
Gasdinamica - GA 3.1 Onde d'urto - astarita@unina.it

51

### Onde d'urto normali non stazionarie

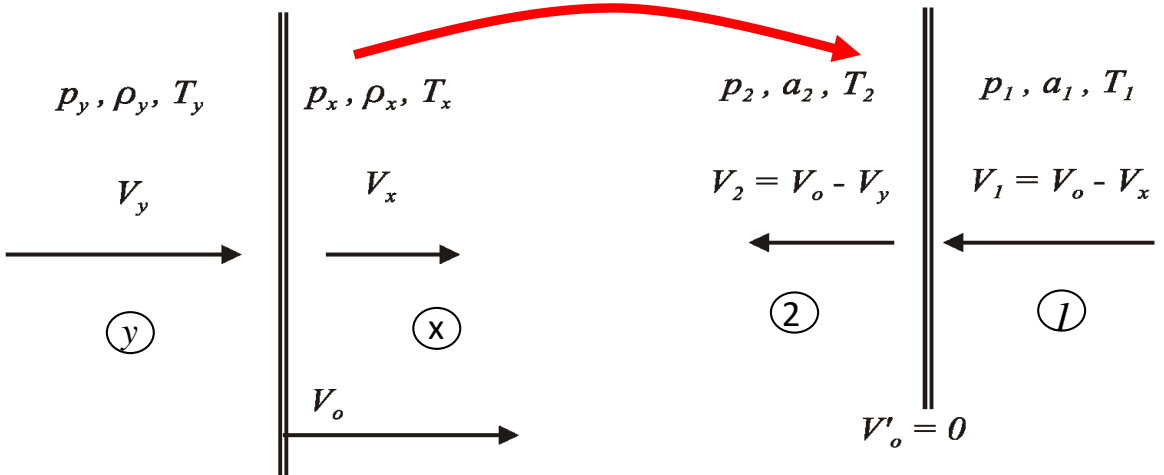
Un'onda d'urto che si **muove** con una velocità  $V_o$  costante, rispetto al **sistema di riferimento** inerziale scelto, è il caso più semplice di onda **non stazionaria**. Si suppone inoltre che il fluido a monte dell'onda si muova a velocità  $V_x < V_o$  a monte e  $V_v < V_o$  a valle.

Per rendere l'onda **stazionaria**, è necessario osservarla in un **nuovo sistema di riferimento** (sempre inerziale) **fermo** rispetto all'**onda**. Occorre, quindi, **sottrarre** la  $V_o$  a tutte le velocità di figura. Per evitare di avere velocità negative conviene invertire il verso dell'asse x.



Le condizioni **statiche** della corrente, evidentemente **non dipendono** dal **sistema di riferimento** quindi:

$$p_x = p_1,$$
  $T_x = T_1,$   $a_x = a_1;$   $p_y = p_2,$   $T_y = T_2,$   $a_y = a_2;$ 





Gasdinamica - GA 3.1 Onde d'urto - astarita @unina.it

53

### Onde d'urto normali non stazionarie

I numeri di Mach nel sistema di **riferimento** con **l'onda** d'urto in **movimento**, sono:

$$M_x = \frac{V_x}{a_x} = \frac{V_x}{a_1}$$
,

$$M_{y} = \frac{V_{y}}{a_{y}} = \frac{V_{y}}{a_{2}};$$

mentre nel sistema con l'onda d'urto stazionaria

$$M_1 = \frac{V_1}{a_1} = \frac{V_0 - V_x}{a_1},$$

$$M_2 = \frac{V_2}{a_2} = \frac{V_o - V_y}{a_2}.$$

I numeri di Mach nel sistema di **riferimento** con **l'onda** d'urto in **movimento**, sono:

$$M_{x}=rac{V_{x}}{a_{x}}=rac{V_{x}}{a_{1}}, \qquad M_{y}=rac{V_{y}}{a_{y}}=rac{V_{y}}{a_{2}};$$

mentre nel sistema con l'onda d'urto stazionaria.

$$M_1 = \frac{V_1}{a_1} = \frac{V_0 - V_x}{a_1}, \qquad M_2 = \frac{V_2}{a_2} = \frac{V_0 - V_y}{a_2}.$$

Quindi, se si conosce  $V_o$ ,  $V_x$  e  $a_x$ , è facile calcolare il numero di Mach a monte dell'onda nel sistema con l'**onda** d'urto **stazionaria** e utilizzando le formule ricavate per le onde d'urto stazionarie calcolare le grandezze **statiche** a valle dell' onda note quelle a monte.



Gasdinamica – GA 3.1 Onde d'urto - astarita @unina.it

55

### Onde d'urto normali non stazionarie

Le grandezze di **ristagno**, al contrario di quelle statiche dipendono dal sistema di riferimento e devono essere valutate nel giusto sistema di riferimento ad esempio a monte:

$$\begin{split} T_{ox} &= T_x \left( 1 + \frac{\gamma - 1}{2} M_x^2 \right) \neq T_{o1} = T_1 \left( 1 + \frac{\gamma - 1}{2} M_1^2 \right); \\ p_{ox} &= p_x \left( 1 + \frac{\gamma - 1}{2} M_x^2 \right)^{\frac{\gamma}{\gamma - 1}} \neq p_{o1} = p_1 \left( 1 + \frac{\gamma - 1}{2} M_1^2 \right)^{\frac{\gamma}{\gamma - 1}}; \end{split}$$

Al contrario di quello che succede per le onde stazionarie,  $T_{ox}$  è normalmente diversa da  $T_{oy}$ .

Inoltre, nel sistema di riferimento con l'onda d'urto in movimento, la pressione di ristagno a valle dell'onda può essere maggiore, minore o al limite uguale a quella monte.

$$p_{o2} < p_{01}$$
  $T_{o2} = T_{01}$   $p_{oy} = p_{ox}$   $T_{oy} = T_{ox}$ 

$$p_{o2} < p_{01}$$
  $T_{o2} = T_{01}$   $p_{oy} = p_{ox}$   $T_{oy} = T_{ox}$ 

Ad **esempio** se  $V_x = 0$  cioè quando **l'onda d'urto si propaga in un fluido in quiete** si ha:

$$p_{ox} = p_x$$
  $e$   $T_{ox} = T_x$ 

A valle dell'onda d'urto sia la pressione che la temperatura aumentano:

$$p_{oy} > p_{y} > p_{x} = p_{ox} \quad e \qquad T_{oy} > T_{y} > T_{x} = T_{ox}$$

$$p_{2}, a_{2}, T_{2} \qquad p_{1}, a_{1}, T_{1}$$

$$V_{y} = V_{1} - V_{2} \qquad V_{x} = 0$$

$$p_{1}, a_{1} \qquad 2$$

$$V_{o} = V_{1} \qquad V'_{o} = 0$$



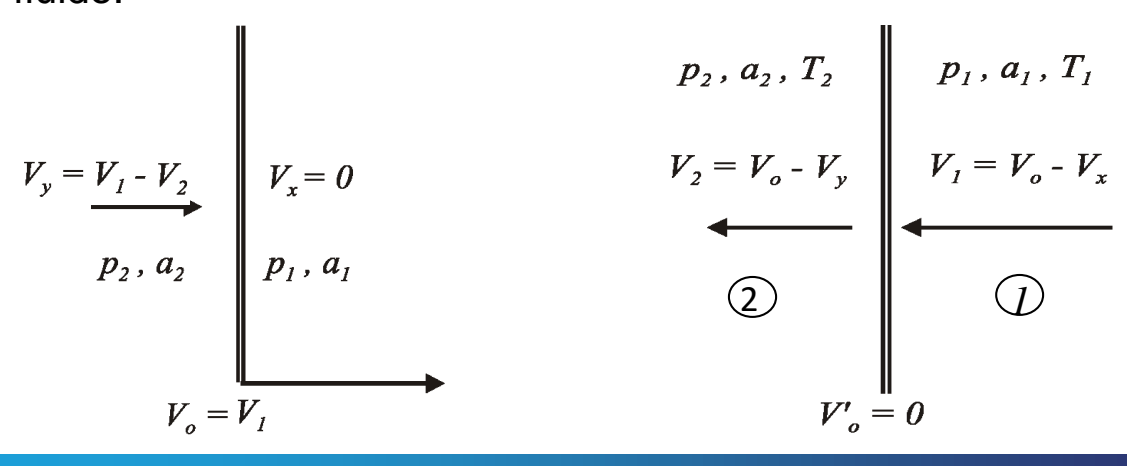
Gasdinamica - GA 3.1 Onde d'urto - astarita @unina.it

57

### Onde d'urto normali non stazionarie

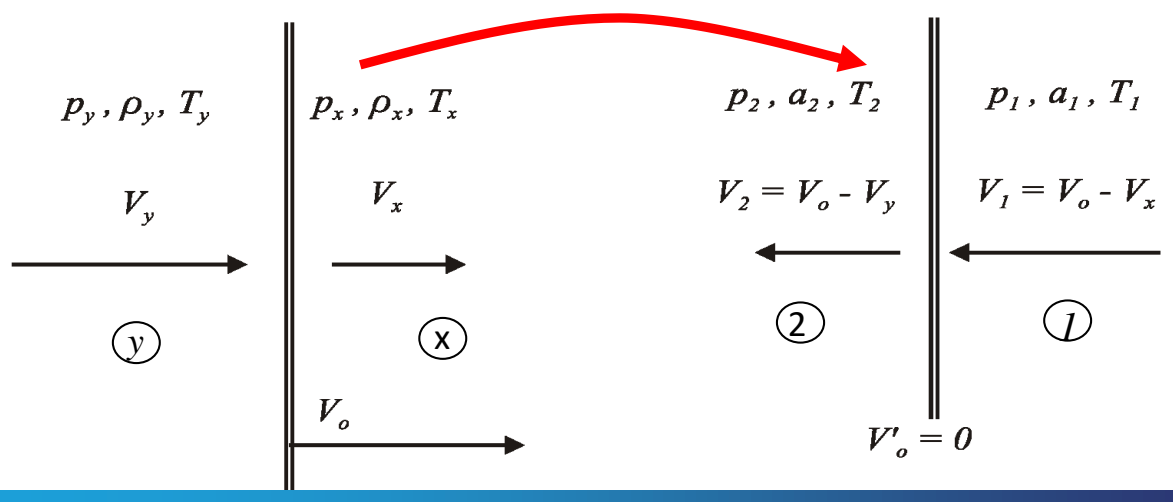
Ad **esempio** se  $V_x = 0$  cioè quando **l'onda d'urto si propaga in un fluido in quiete** si ha:

- A valle dell'onda d'urto sia la pressione che la temperatura di ristagno aumentano;
- poiché  $V_1 = V_o > V_2$  e  $V_y = V_0 V_2 = V_1 V_2 > 0$  il **fluido** a valle di un'onda d'urto che si propaga in un fluido in quiete **segue** l'onda;
- poiché  $V_1 = V_o > a_1$  un'onda d'urto (non di Mach) si propaga in un fluido in quiete con una velocità maggiore della velocità del suono nello stesso fluido.



La **soluzione** del problema di un'onda d'urto in moto, di cui si **conoscano** le velocità di propagazione  $V_o$ , del suono  $a_x$  e del fluido  $V_x$  in cui si propaga, si risolve con i seguenti 4 passi successivi:

 l'onda d'urto è resa stazionaria sottraendo la velocità dell'onda a quella del fluido in cui si propaga e si determina il numero di Mach a monte;





Gasdinamica - GA 3.1 Onde d'urto - astarita @unina.it

59

### Onde d'urto normali non stazionarie

La **soluzione** del problema di un'onda d'urto in moto, di cui si **conoscano** le velocità di propagazione  $V_o$ , del suono  $a_x$  e del fluido  $V_x$  in cui si propaga, si risolve con i seguenti 4 passi successivi:

- l'onda d'urto è resa stazionaria sottraendo la velocità dell'onda a quella del fluido in cui si propaga e si determina il numero di Mach a monte;
- si **risolve** il problema per quanto riguarda le **grandezze statiche** e la  $V_2$  con le formule già ricavate per l'onda d'urto **stazionaria**;
- si calcolano i numeri di Mach per l'onda d'urto in movimento;
- si calcolano infine le grandezze di ristagno per l'onda d'urto in movimento;

Se la **velocità dell'onda non fosse** nota, ma lo sono  $V_x$ ,  $V_y$  e  $a_x$  si può dimostrare che la velocità di propagazione è data:

$$V_o = \frac{(\gamma + 1)V_y - (\gamma - 3)V_x}{4} + \sqrt{a_x^2 + \left(\frac{\gamma + 1}{4}\right)^2 (V_y - V_x)^2}$$

e si ricade nel problema precedente.



Se la **velocità dell'onda non fosse** nota, ma lo sono  $V_x$ ,  $V_y$  e  $a_x$  si può dimostrare che la velocità di propagazione è data:

$$V_o = \frac{(\gamma + 1)V_y - (\gamma - 3)V_x}{4} + \sqrt{a_x^2 + \left(\frac{\gamma + 1}{4}\right)^2 (V_y - V_x)^2}$$

e si ricade nel problema precedente.

Una valida alternativa è procedere per tentativi ad esempio:

- si assegna  $V_o^k$  a piacere (il pedice k indica l'iterazione ed inizialmente k = 0);
- si calcola V<sup>k</sup><sub>v</sub> con il procedimento precedente;
- si valuta l'errore  $e^k = V_y^e V_y^k$  e se fosse maggiore dell'approssimazione fissata si utilizza un metodo di soluzione di equazioni non lineari (e.g. falsa posizione) per valutare  $V_o^{k+1}$  e iterare il procedimento.



Gasdinamica – GA 3.1 Onde d'urto - astarita @unina.it

61

### Onde d'urto normali non stazionarie

Un caso **rilevante** è quello che consente di determinare la **velocità** di propagazione dell'**onda** d'urto generata dall'**accelerazione impulsiva** alla velocità  $V_p$  di un **pistone** all'interno di un condotto.

A monte del pistone il fluido è in quiete ( $V_x = 0$ ) la velocità a valle dell'onda è nota  $V_y = V_p$  mentre la velocità dell'onda  $V_1 = V_0$  è incognita.

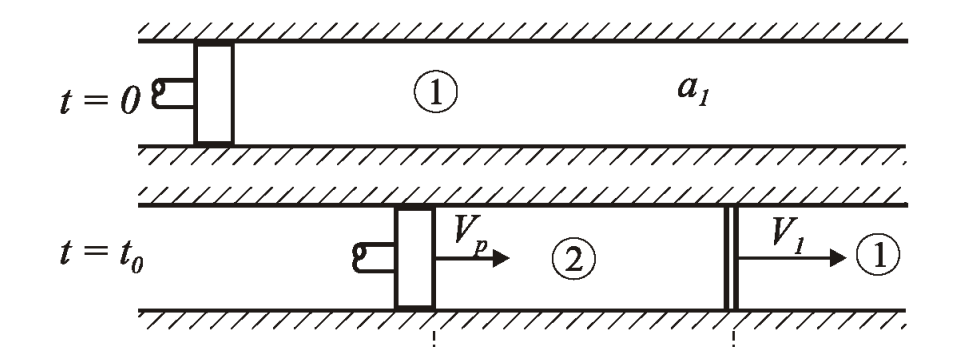
Si trova prima: 
$$M_p = \frac{V_p}{a_1} = \frac{2}{\gamma + 1} \frac{M_1^2 - 1}{M_1}$$

Risolvendo in 
$$M_1$$
 si ha:  $M_1 = \frac{\gamma+1}{4}M_p + \sqrt{\left(\frac{\gamma+1}{4}\right)^2M_p^2 + 1}$ 

$$V_{y} = \underbrace{V_{1} - V_{2}}_{p_{2}, a_{2}} \qquad V_{x} = 0$$

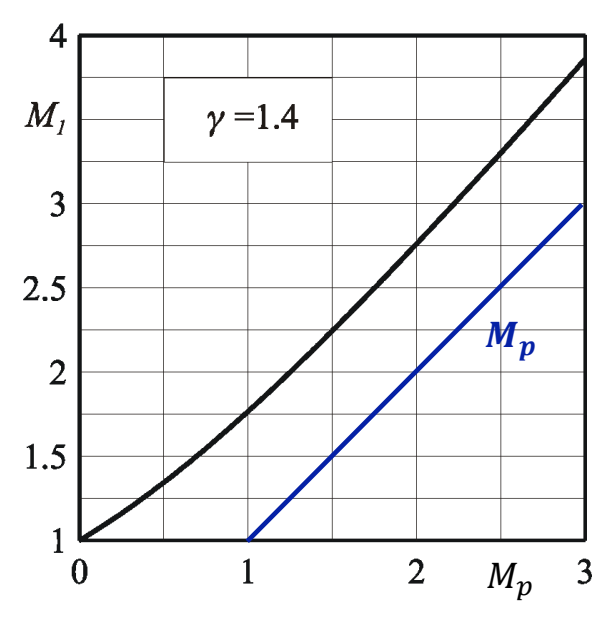
$$p_{1}, a_{1}$$

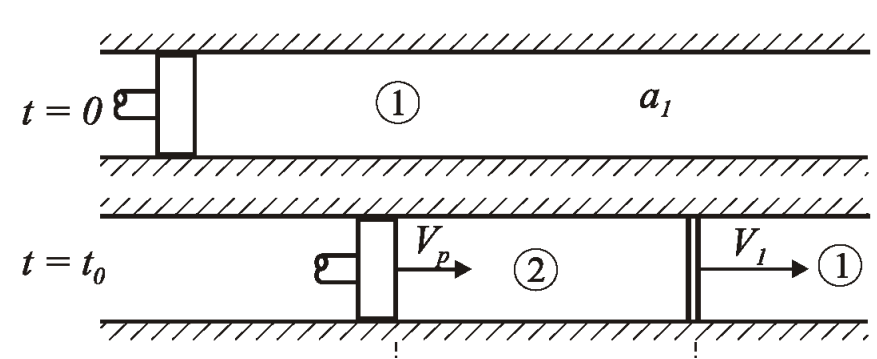
$$V_{o} = V_{1}$$



$$M_1 = \frac{\gamma + 1}{4} M_p + \sqrt{\left(\frac{\gamma + 1}{4}\right)^2 M_p^2 + 1}$$

Come si vede anche dalla figura  $M_1 > M_p$ .







Gasdinamica - GA 3.1 Onde d'urto - astarita @unina.it

63

### Onde d'urto normali non stazionarie

A seguito dell'accelerazione impulsiva del pistone, alla t = 0.8 velocità  $V_p$ , nasce un'onda d'urto che si propaga alla velocità  $V_1$ .

Nella zona (1), a monte dell'onda d'urto, il fluido è indisturbato.

L'onda fa accelerare il fluido a valle, nella zona (2), alla stessa velocità del pistone.

